

บทที่ 4

ผลการทดลอง

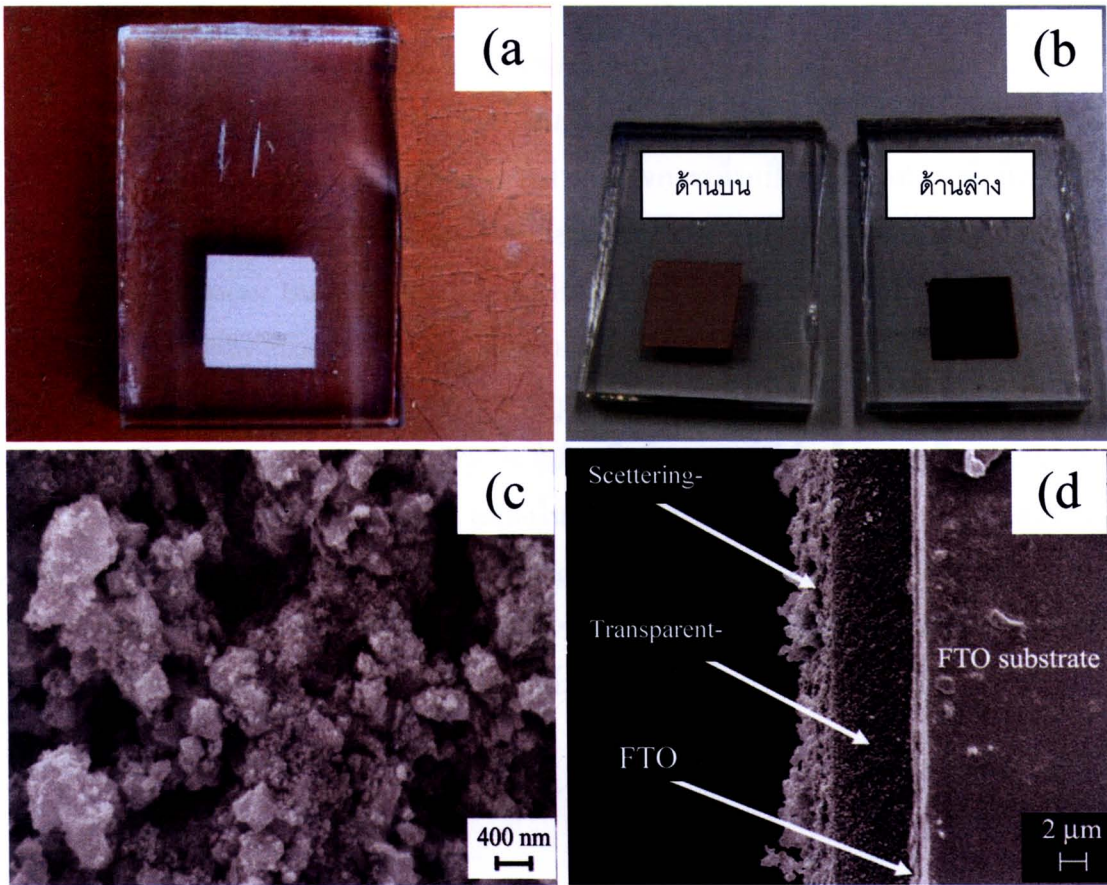
ในบทนี้จะกล่าวถึงผลการทดลองและอภิปรายผลการทดลอง จากการประดิษฐ์ข้าวเคน์เตอร์ซึ่งเตรียมด้วยวิธี Doctor Blading ข้าวเกร็งเตรียมฟิล์มด้วยวิธี Doctor Blading และวิธี Screen Printing แบบบนกระজาน้ำไฟฟ้าและบนพลาสติกนำไฟฟ้า ข้าวเคน์เตอร์ที่ใช้ท่อนาโนในการบอนพสม์โพลิเมอร์นำไฟฟ้าและไม่นำไฟฟ้า ผลของการปรับแต่งผิวท่อนาโนในการบอนด้วยกรดผลของระยะเวลาในการอบฟิล์ม และผลของปริมาณท่อนาโนการบอนที่ผสมกับโพลิเมอร์นำไฟฟ้า โดยข้าวเกร็งถูกวิเคราะห์ด้วยเทคนิค SEM และ UV-Visible เพื่อให้รู้ถึงความหนา ลักษณะรูปร่างของฟิล์ม TiO_2 และปริมาณสีข้อมที่ติดอยู่กับ TiO_2 ส่วนข้าวเคน์เตอร์ถูกวิเคราะห์ด้วยเทคนิค SEM และ CV เพื่อให้รู้ถึงความหนา ลักษณะรูปร่างของฟิล์มและคุณสมบัติการเกิดปฏิกิริยาไฟฟ้าเคมีของฟิล์มตามลำดับ เมื่อประกอบเป็นเซลล์แสงอาทิตย์ เซลล์จะถูกวัดหาค่าประสิทธิภาพการเปลี่ยนพลังงานแสงเป็นพลังงานไฟฟ้า และวัดค่าความด้านทานเชิงช้อนเพื่อรู้ค่าความด้านทานที่ส่วนต่างๆ ของระบบเซลล์แสงอาทิตย์ รายละเอียดผลการศึกษาและการอภิปรายนี้ดังต่อไปนี้

4.1 ผลการศึกษาเซลล์แสงอาทิตย์ชนิดสีข้อมไวแสง (บนกระจานนำไฟฟ้า)

4.1.1 ผลการศึกษาลักษณะฟิล์ม TiO_2

4.1.1.1 ฟิล์ม TiO_2 เคลือบด้วยวิธี Doctor Blading บนกระจานนำไฟฟ้า

ภาพที่ 4.1 (a) แสดงให้เห็นลักษณะของฟิล์ม TiO_2 บนกระจานนำไฟฟ้ามีสีขาวนวล หลังจากย้อมด้วยสีข้อมชนิด N719 เป็นเวลา 24 ชั่วโมง พบร่องรอยของฟิล์มนีสีชมพู แต่เมื่อมองด้านล่างผ่านกระจาดจะเป็นสีชมพูอมแดงดังแสดงในภาพที่ 4.1(b) ทั้งนี้เนื่องจากฟิล์ม TiO_2 แต่ละชั้นมีขนาดอนุภาคที่แตกต่างกัน ชั้น Transparent เป็นชั้นที่ติดกับชั้น Blocking มีขนาดอนุภาค $TiO_2 \sim 18 nm$ ชั้นนี้เม็ดสีข้อมจะเกาะติดได้มากที่สุดจึงเห็นมีลักษณะสีชมพูอมแดงตามสีของสีข้อมชนิด N719 ส่วนชั้น Scattering ชั้นบนสุดอนุภาค $TiO_2 \sim 400 nm$ เม็ดสีข้อมเกาะติดได้น้อยทำให้ชั้นนี้เป็นสีชมพู ชั้นนี้ทำหน้าที่ช่วยกระเจิงแสงกลับไปยังชั้น Transparent จากภาพถ่าย SEM ทำให้เห็นลักษณะฟิล์มนีรูปrun และอนุภาค TiO_2 เกาะกันเป็นกลุ่มก้อน (ภาพที่ 4.(c)) ภาพถ่ายด้านข้างภาพที่ 4.1(d) แสดงเห็นถึงชั้นนำไฟฟ้า (FTO) ของกระจานนำไฟฟ้า ชั้น Transparent และชั้น Scattering แต่เห็นชั้น Blocking ไม่ชัดเจนเนื่องจากชั้นนี้บางและกลมกลืนเป็นเนื้อดิบกับชั้น Transparent ความหนาของฟิล์มโดยรวม $\sim 8 \mu m$



ภาพที่ 4.1 ภาพถ่ายของฟิล์ม TiO_2 ที่เคลือบด้วยวิธี Doctor Blading บนกระจกนำไฟฟ้า FTO

- ภาพถ่ายด้วยกล้องดิจิตอลของฟิล์ม TiO_2 บนกระจกนำไฟฟ้า FTO
- ภาพถ่ายด้วยกล้องดิจิตอลของฟิล์ม TiO_2 บนกระจกนำไฟฟ้าหลังจากการย้อมสี 24 ชั่วโมง
- ภาพถ่าย SEM ฟิล์ม TiO_2 บนกระจกนำไฟฟ้าด้านบน
- ภาพถ่าย SEM ฟิล์ม TiO_2 บนกระจกนำไฟฟ้าด้านข้าง

4.1.1.2 ฟิล์ม TiO_2 เคลือบด้วยวิธี Screen Printing บนกระจกนำไฟฟ้า

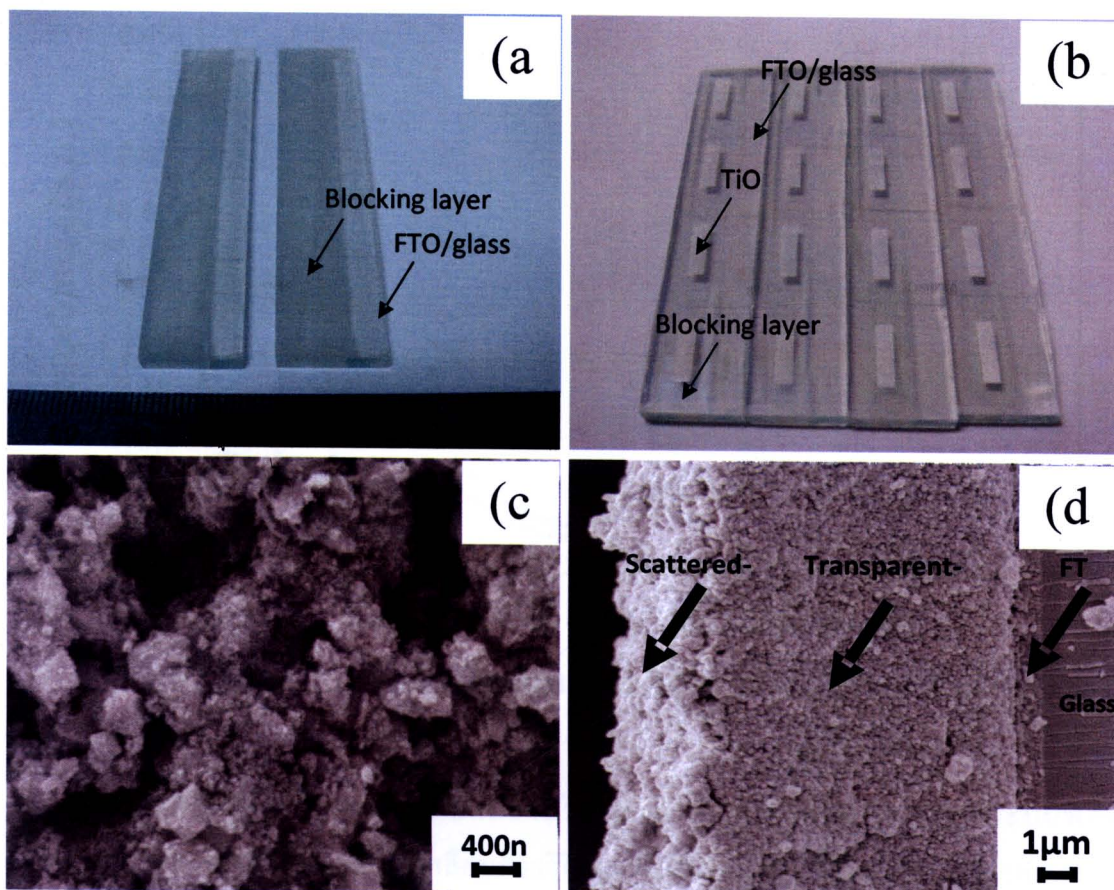
ภาพที่ 4.2 (a) แสดงให้เห็นลักษณะของฟิล์ม Blocking หรือชั้น Dense TiO_2 บนกระจกนำไฟฟ้ามีสีขาวขุ่น หลังจากการเคลือบฟิล์ม TiO_2 ชั้น Transparent และชั้น Scattering บนชั้น Blocking ด้วยวิธีสกรีนแล้วจะมีลักษณะดังภาพที่ 4.2 (b) ภาพถ่าย SEM ลักษณะฟิล์มนี้รูปพรรณและอนุภาค TiO_2 เกาะกันเป็นกลุ่มก้อน ภาพถ่ายด้านข้างในภาพที่ 4.2(d) แสดงเห็นถึงชั้นนำ

ไฟฟ้า (FTO) ของกระจกนำไฟฟ้า ชั้น Transparent และชั้น Scattering โดยความหนารวมของพิล์ม TiO_2 ประมาณ $10 \mu m$ แต่เห็นชั้น Blocking ไม่ชัดเจนเนื่องจากชั้นนี้บางมากและกลมกลืนเป็นเนื้อเดียวกันกับชั้น Transparent หลังจากทำการย้อมด้วยสีย้อมชนิด N719 เป็นเวลา 24 ชั่วโมง พบร่วมกับค่าบนของพิล์มน้ำสีเขียว แต่เมื่อมองด้านล่างผ่านกระจกจะเห็นเป็นสีเขียวอมแดงซึ่งมีลักษณะเช่นเดียวกับการเตรียมด้วยวิธี Doctor Blading เมื่อเปรียบเทียบความหนาของพิล์มโดยรวมกับพิล์มที่เตรียมด้วยวิธี Doctor Blading พบร่วมกับค่าของพิล์มที่เตรียมด้วยวิธี Screen Printing มากกว่า ความหนาที่แตกต่างกันนี้จะมีผลต่อปริมาณของสีย้อมที่เข้าไปเกาะพิล์ม ซึ่งพิล์มที่หนากว่าจะมีปริมาณสีย้อมที่เข้าไปติดมากกว่าส่งผลให้ปริมาณอิเล็กตรอนที่ถูกปล่อยออกจากขั้วเรียกคือมากกว่าตามไปด้วยเพื่อพิสูจน์ถึงความแตกต่างของปริมาณสีย้อมจึงวิเคราะห์พิล์มด้วยเทคนิค UV-Visible spectroscopy ผลการวัดการดูดกลืนแสง แสดงในภาพที่ 4.3 พบร่วมเส้นกราฟการดูดกลืนแสงของสีย้อมของเงื่อนไขที่เคลือบด้วยวิธี Screen Printing สูงกว่าวิธี Doctor Blading ซึ่งแสดงว่าปริมาณสีย้อมที่เกาะบน TiO_2 มีมากกว่าและพบว่าสีย้อมชนิด N719 ดูดกลืนแสงได้ที่ความยาวคลื่น 300, 380 และ $520 nm$ ปริมาณสีย้อมที่เกาะบนพิล์มของ TiO_2 สามารถคำนวณได้จากสมการที่ (4.1) และ (4.2)

$$A_\lambda = \varepsilon_\lambda c l \quad (4.1)$$

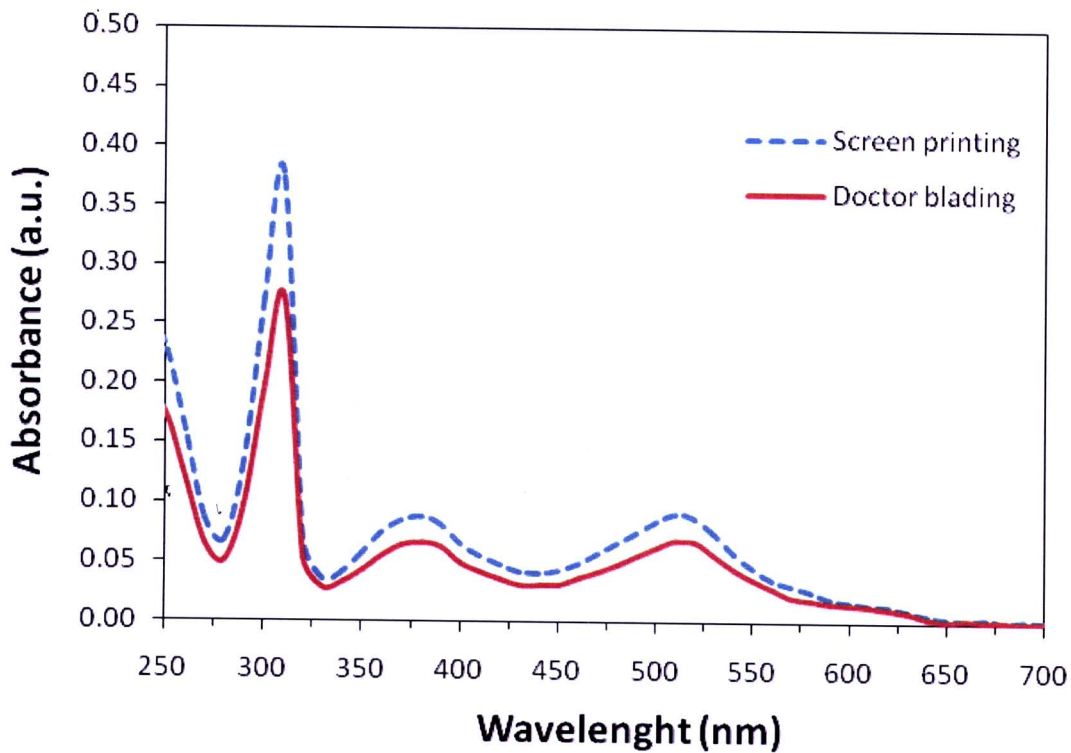
$$\text{และ} \quad M = cV \quad (4.2)$$

โดยที่ A_λ คือ ค่าการดูดกลืนแสง (Absorbance Value) ε_λ คือ Specific Absorbance ($M^{-1} \cdot cm^{-1}$) ซึ่งเป็นพังค์ชั้นของความยาวคลื่น c คือ ความเข้มข้นของสีย้อม (Absorbed Dye Concentration :M) l คือ ความหนาของ Standard Cuvette Glass (1 cm) V คือ ปริมาตรของสารละลายสีย้อม (5 ml) และ M คือ จำนวนโมเลกุลของสีย้อมที่เกาะบนพิล์ม TiO_2 (mol) เมื่อใช้ Specific Absorbance ที่ $\lambda = 300 nm$, $\varepsilon_{300} = 5.7 \times 10^4 M^{-1} cm^{-1}$ สามารถคำนวณจำนวนโมเลกุลของสีย้อมที่เกาะติดบนพิล์ม TiO_2 ขนาดพื้นที่ $0.25 cm^2$ ที่เคลือบบนกระจกนำไฟฟ้า ($TiO_2/FTO\text{-glass}$) ปริมาณโมเลกุลของสีย้อม N719 ที่เคลือบอยู่บนพิล์ม TiO_2 ที่เคลือบด้วยวิธี Screen Printing $\sim 4.77 \times 10^{-8} mol$ และที่เตรียมด้วยวิธี Doctor Blading $\sim 3.51 \times 10^{-8} mol$



ภาพที่ 4.2 ภาพถ่ายของฟิล์ม TiO_2 ที่เคลือบด้วยวิธี Screen Printing บนกระจกนำไฟฟ้า FTO

- (a) ภาพถ่ายด้วยกล้องคิจิตอลของฟิล์ม Blocking บนกระจกนำไฟฟ้า
- (b) ภาพถ่ายด้วยกล้องคิจิตอลของฟิล์ม TiO_2 บนกระจกนำไฟฟ้าเคลือบด้วยวิธีสกรีน
- (c) ภาพถ่าย SEM ฟิล์ม TiO_2 เคลือบด้วยวิธีสกรีนบนกระจกนำไฟฟ้าด้านบน
- (d) ภาพถ่าย SEM ฟิล์ม TiO_2 เคลือบด้วยวิธีสกรีนบนกระจกนำไฟฟ้าด้านข้าง



ภาพที่ 4.3 การเปรียบเทียบการคุณค่าแสงปริมาณของสีข้อม ชนิด N719 ที่เก็บบนฟิล์มไทเทนีียมไดออกไซด์ที่เคลือบด้วยวิธี Doctor Blading และ Screen Printing บนกระดาษนำไฟฟ้า ในช่วงความยาวคลื่น 250-700 nm

4.1.2 ผลของการออบฟิล์ม MWCNTs ผสม PVDF ต่อประสิทธิภาพของเซลล์แสงอาทิตย์

หัวข้อนี้จะกล่าวถึงผลของการออบฟิล์ม MWCNTs ผสม Poly(vinylidene fluoride) เคลือบด้วยเทคนิค Doctor blading โดยอบที่อุณหภูมิ 80°C และเปลี่ยนแปลงเวลาในการออบเป็น 2, 4, 6, 8 และ 12 ชั่วโมง จากนั้นนำไปประกอบเป็นเซลล์แสงอาทิตย์กับขั้วเวิกรักซ์ที่เตรียมด้วยวิธี Doctor blading และนำไปวัดประสิทธิภาพผลการทดลองแสดงในตารางที่ 4.1

ตารางที่ 4.1 สรุปค่า V_{oc} , J_{sc} , FF และประสิทธิภาพของเซลล์แสงอาทิตย์ (η) ที่ใช้ฟิล์มท่อนาโนะ คาร์บอนพสม PVDF บนกระจกนำไฟฟ้า อบที่อุณหภูมิ 80 °C เป็นระยะเวลา 2, 4, 6, 8 และ 12 ชั่วโมง เป็นขั้นตอนๆ เตอร์

| CE | Heating time(h) | Active area (cm^2) | V_{oc} (V) | J_{sc} (mA/cm^2) | Fill Factor (FF) | η (%) |
|--------|-----------------|-------------------------------|--------------|-------------------------------|------------------|-------|
| FTO | - | 0.49 | 0.45 | 1.72 | 0.07 | 0.05 |
| PVDF | 6 | 0.49 | 0.55 | 2.22 | 0.05 | 0.07 |
| | 2 | 0.49 | 0.58 | 7.29 | 0.41 | 1.73 |
| | 4 | 0.49 | 0.68 | 7.06 | 0.49 | 2.38 |
| MWCNTs | 6 | 0.49 | 0.72 | 7.92 | 0.48 | 2.73 |
| | 8 | 0.49 | 0.70 | 7.65 | 0.44 | 2.36 |
| | 12 | 0.49 | 0.70 | 7.43 | 0.45 | 2.31 |
| Pt | - | 0.49 | 0.67 | 9.82 | 0.59 | 3.90 |

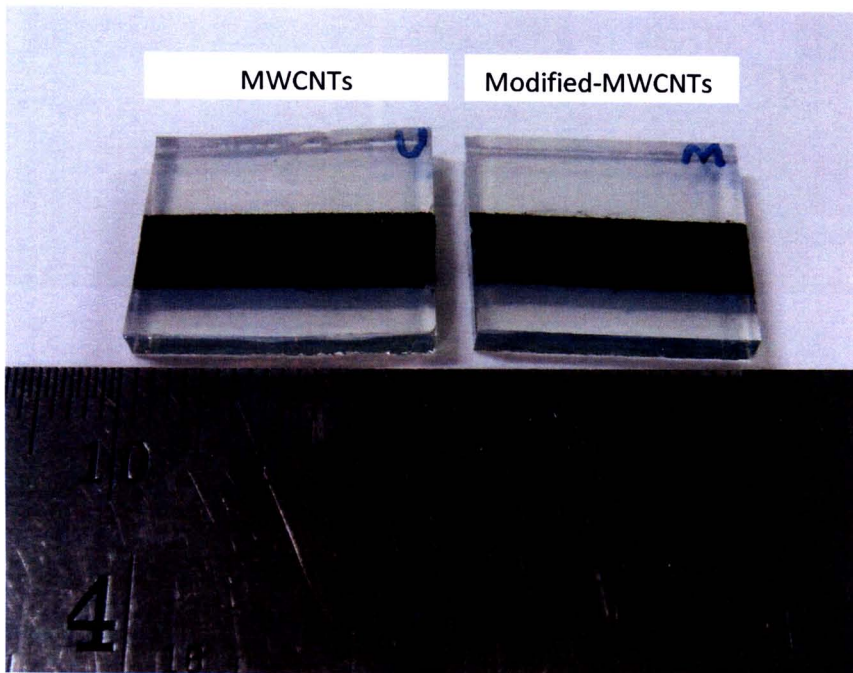
ผลการทดลองในตารางที่ 4.1 พบว่าเมื่อเพิ่มระยะเวลาในการอบฟิล์ม MWCNTs พสม Poly(vinylidene fluoride) ประสิทธิภาพของเซลล์แสงอาทิตย์ (η) J_{sc} และ V_{oc} เพิ่มขึ้นตามไปด้วยและสูงสุดที่เวลา 6 ชั่วโมง โดยได้ประสิทธิภาพเป็น 2.73 % J_{sc} เท่ากับ 7.92 mA/cm^2 และ V_{oc} เท่ากับ 0.72 V แต่เมื่อเพิ่มเวลาเป็น 8 และ 12 ชั่วโมง เหตุผลที่ประสิทธิภาพของเซลล์แสงอาทิตย์ เพิ่มในช่วงระยะเวลาแรกน่าจะเนื่องจากเมื่ออบฟิล์มสารละลาย NMP ที่อยู่ในฟิล์มคาร์บอนจะระเหยจนเกือบหมดไปทำให้ไม่ NMP ส่วนเกินไปปะปนในอิเล็กโทรไลต์ แต่ในช่วงเวลาหลัง 6 ชั่วโมง ประสิทธิภาพลดลงเนื่องจากการละลายตัวของตัวประสาน PVDF ไปปิดผิวท่อนาโนะ คาร์บอนทำให้ผิวสัมผัสระหว่างคาร์บอนกับอิเล็กโทรไลต์มีน้อยลงการเกิดปฏิกิริยาเริดกษัณจึงลดลงตามไปด้วย

4.1.3 ผลการปรับแต่งผิว MWCNTs พสม PVDF เป็นขั้นตอนๆ เตอร์บนกระจกนำไฟฟ้า

4.1.3.1 ลักษณะฟิล์ม MWCNTs พสม PVDF บนกระจกนำไฟฟ้า

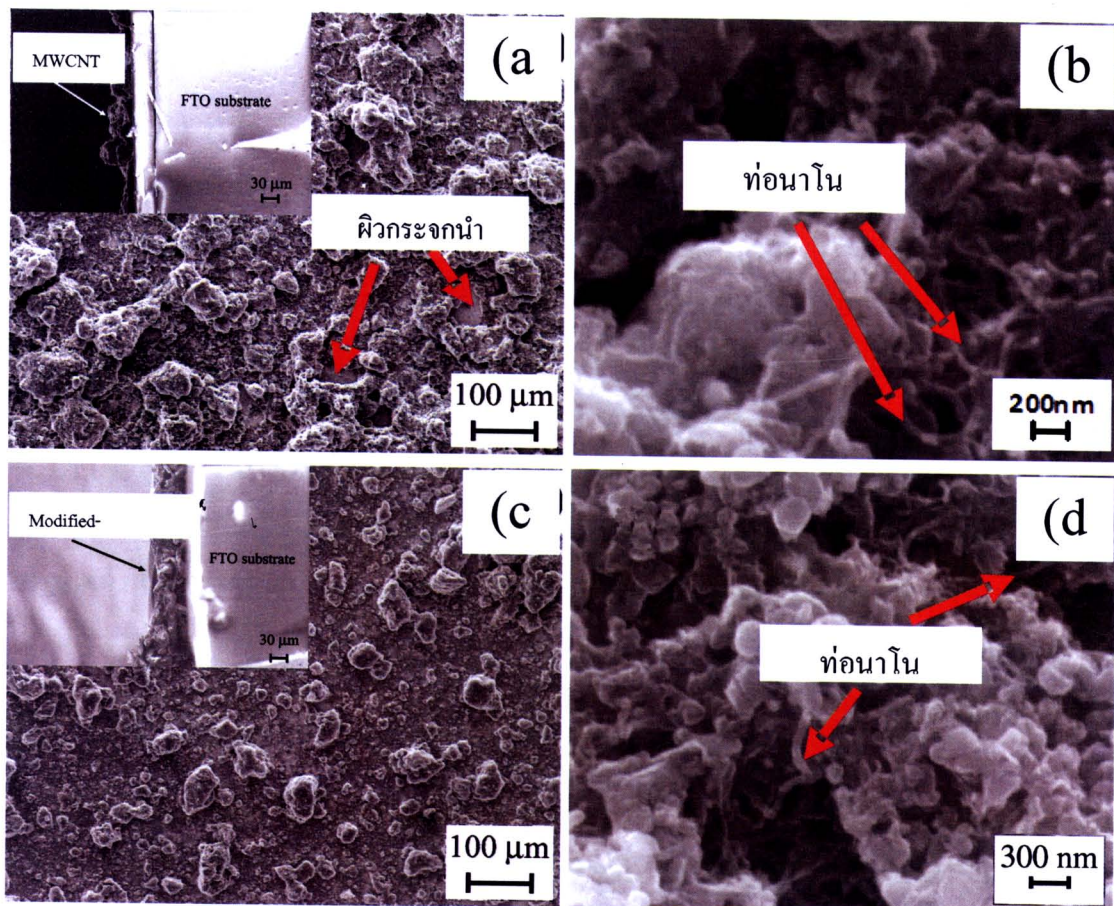
ลักษณะฟิล์มท่อนาโนะ คาร์บอน (MWCNTs) และฟิล์มท่อนาโนะ คาร์บอนที่ปรับแต่งผิวด้วยกรด (Modified-MWCNTs) แสดงในภาพที่ 4.4 เห็นได้ว่าฟิล์มทั้งสองมีลักษณะฟิล์มสีดำคล้ำยกัน แต่ภาพถ่าย SEM กำลังขยายต่ำพบว่าฟิล์มท่อนาโนะ คาร์บอนผิวขรุขระมีการจับ

ตัวกันเป็นก้อนบางบริเวณสังเกตเห็นผิวกระเจนนำไปไฟฟ้าได้ชัดเจน ความหนาของฟิล์มประมาณ 15-40 μm (ภาพที่ 4.5 (a)) ภาพถ่าย SEM กำลังขยายสูงพบท่อนาโนคาร์บอนและกลุ่มก้อนของ PVDF (ภาพที่ 4.5 (b)) ส่วนฟิล์มท่อนาโนคาร์บอนที่ปรับแต่งผิวด้วยกรดมีลักษณะที่เรียบกว่าและกระหายตัวบนกระเจนนำไปไฟฟ้าได้ดีกว่าฟิล์มท่อนาโนคาร์บอนแต่ก็มีการจับตัวกันเป็นก้อนขนาดต่างๆ กัน ความหนาของฟิล์มประมาณ 20-40 μm (ภาพที่ 4.5 (c)) ภาพถ่าย SEM กำลังขยายสูงพบท่อนาโนคาร์บอนและกลุ่มก้อนของ PVDF ลักษณะของฟิล์มทึ้งสองที่แตกต่างเนื่องจากเมื่อปรับแต่งผิวท่อนาโนคาร์บอนจะมีหมู่кар์บอนซิลิเกาอยู่ที่ผิวของห่อดังแสดงในรูปที่ 4.6 ซึ่งหมู่кар์บอนซิลิเกาช่วยในการกระจายตัวของห่อนาโนคาร์บอนในโพลิเมอร์อาจเพราะแ xen OH สามารถต่อกับสายของโพลิเมอร์ได้ (Yang et al., 2008)



ภาพที่ 4.4 ฟิล์มห่อนาโนคาร์บอนและฟิล์มห่อนาโนคาร์บอนที่ปรับแต่งผิวด้วยกรดบนกระเจนนำไปไฟฟ้า





ภาพที่ 4.5 ภาพถ่าย SEM ของฟิล์มที่เคลือบบนกระজัน้ำไฟฟ้า

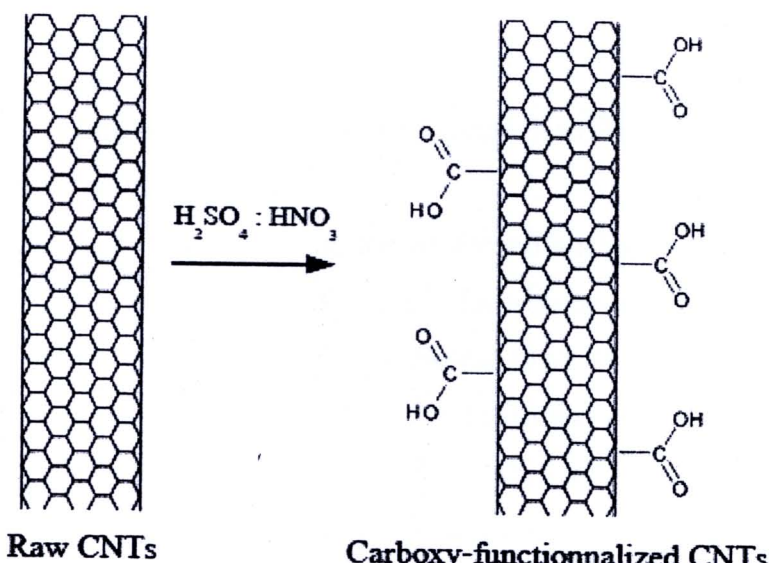
(a) ฟิล์ม MWCNT ที่กำลังขยายตัว (b) ฟิล์ม MWCNT ที่กำลังขยายสูง (c) ฟิล์ม Modified-MWCNTs ที่กำลังขยายตัว (d) ฟิล์ม Modified-MWCNTs ที่กำลังขยายสูง

4.1.3.2 ผลการศึกษาฟิล์ม MWCNTs ผสม PVDF บนกระจัน้ำไฟฟ้าโดยเทคนิค

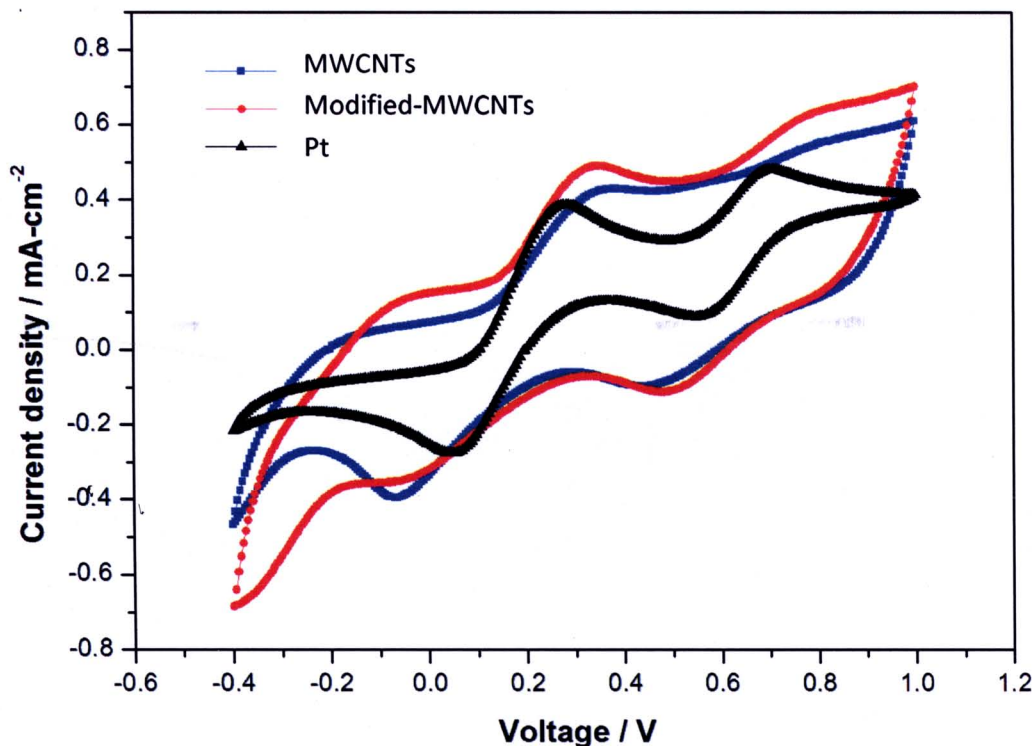
Cyclic Voltammetry

หลังการปรับแต่งผิวท่อนาโนสารบอนด้วยกรด หมู่สารบอกซิลจะเกาะบนผิวท่อนาโนสารบอนซึ่งมีผลช่วยในการเพิ่มปฏิกิริยา (Lu et al., 2008) ภาพที่ 4.6 แสดงหมู่สารบอกซิลหลังการทรีดด้วยกรดบนผิวท่อนาโนสารบอน ซึ่งหมู่ฟังก์ชันนี้สามารถอธิบายการเพิ่มขึ้นของประสิทธิภาพเซลล์แสงอาทิตย์ การเกิดปฏิกิริยาเริดอกซ์ของฟิล์ม MWCNTs และฟิล์มท่อนาโนสารบอนที่ปรับแต่งผิวด้วยกรด ถูกวิเคราะห์ด้วยเทคนิค Cyclic Voltammetry (CV) โดยวัดในช่วง -0.4 V ถึง 1.0 V ในสารละลายน 10 mM LiI, 1 mM I₂ และ 0.1 M LiClO₄ ใน Acetonitrile ที่ scan rate 20 mV/s ผลการทดลองแสดงในภาพที่ 4.7 Voltammogram ของฟิล์ม Pt แสดงออกซิเดชั่น

พีค (Oxidation peak) 2 พีค ที่ 0.28 V และ 0.70 V และรีดักชั่นพีค (Reduction peak) 2 พีค ที่ 0.04 V และ 0.54 V ทำนองเดียวกันฟิล์มท่อนาโนคาร์บอนมีออกซิเดชั่นพีค 2 พีค ที่ 0.34 V และ 0.79 V และรีดักชั่นพีค 2 พีค ที่ -0.06 V และ 0.47 V แต่สังเกตว่า Voltammogram ของฟิล์ม Pt มีความหนาแน่นกระแสต่ำกว่าฟิล์มท่อนาโนคาร์บอน ซึ่งขดແยื้งกับผลของประสิทธิภาพเซลล์แสงอาทิตย์โดย Pt ให้ประสิทธิภาพสูงที่สุด จากผลงานวิจัยของ Huang et al. พบว่า CV ของ MWCNTs และ Modified- MWCNTs ที่มีเส้นกราฟว่างแต่ประสิทธิภาพของเซลล์แสงอาทิตย์ต่ำ เนื่องมาจากการเก็บประจุระหว่างฟิล์มท่อนาโนคาร์บอนกับอิเล็กโทรไลต์ (Huang et al., 2007) การเก็บประจุเป็นแบบที่มีการเรียงตัวของประจุแบบสองชั้นหรือที่เรียกว่า Electrical double layer เมื่อแผ่นฟิล์มคาร์บอนมีสนามไฟฟ้าเกิดขึ้นรอบผิวของคาร์บอน จะเกิดการดึงประจุตรงข้ามเข้ามายหาและผลักประจุเมื่อนอนกันออกไป และเกิดเป็นชั้นประจุที่ฟิล์มคาร์บอน (Sharma, Zhai, 2009) การที่ข้าวເคนົ້າເຕັກໄດ້เก็บประจุมากເກີນໄປມັນຈະขັດຂວາງການເກີດປຸງຄົງຢາແລກເປີ່ຍນອີເລີກຕອນຮ່ວງໜ້າຂ້າວເຄົ້າເຕັກໄດ້ກັບອີເລີກໂຕຣ ສ່າງຜລໃຫ້ประสิทธิภาพຂອງเซลล์แสงอาทิตຍ์ Modified-MWCNTs DSSCs และ MWCNTs DSSCs มีประสิทธิภาพที่ต่ำกว่า Pt DSSCs เนื่องด้วยเหตุผลข้างต้น และຜລ Voltammogram curve ของ Modified-MWCNTs มีความหนาแน่นกระแสที่มาก MWCNTs นີ້ສອດຄຳອັງກັບຜລຂອງประสิทธิภาพเซลล์แสงอาทิตຍ์ ດັ່ງນັ້ນການປັບປຸງແຕ່ງພິວທ່ອນາໂນຄາຣບັນອນເປັນການເພີ່ມການເກີດປຸງຄົງຢາຮັກຊັ້ນແລກສ່າງຜລໃຫ້ประสิทธิภาพຂອງเซลล์แสงอาทิตຍ์ເພີ່ມຈື້ນ



ກາພທີ 4.6 ມູນຄາຣບັກຊັ້ນພິວທ່ອນາໂນຄາຣບັນອນເນື່ອຜ່ານກາຮັກດ້ວຍກຣດ

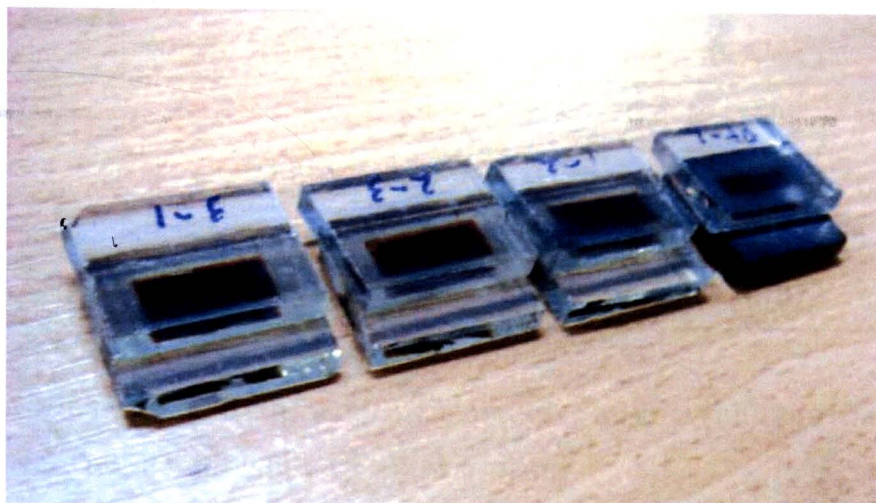


ภาพที่ 4.7 Cyclic Voltammograms ของฟิล์ม MWCNT, Modified-MWCNTs และ Pt ในสารละลายน้ำ Acetonitrile 10 mM LiI, 1 mM I₂ และ 0.1 M LiClO₄ โดยใช้ Scan rate ที่ 20 mV/s

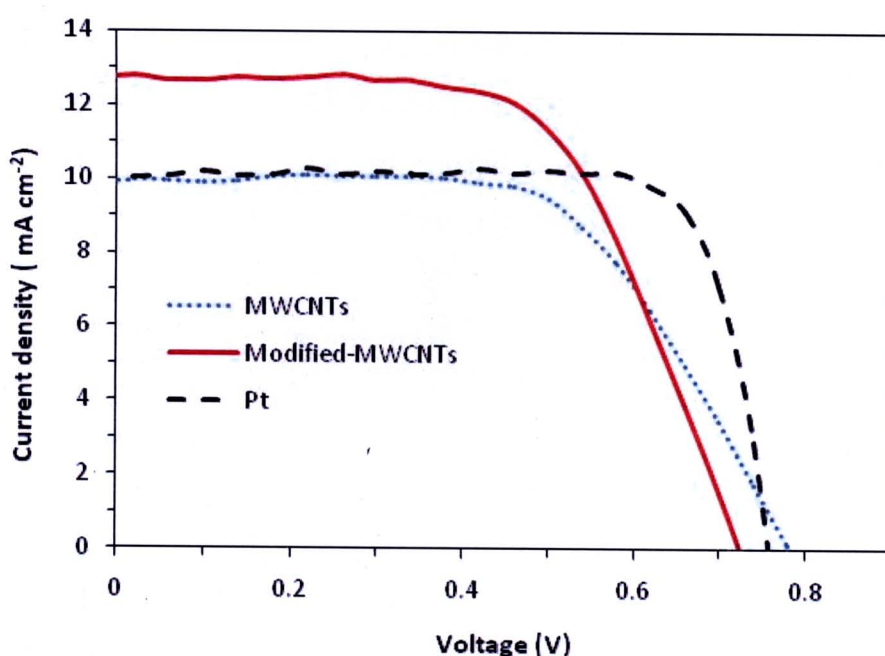
4.1.3.3 ผลการศึกษาประสิทธิภาพเซลล์แสงอาทิตย์ที่ใช้ฟิล์ม MWCNTs ผสม PVDF เป็นขั้วเคนเนอร์รับนรุณรบกวนไฟฟ้า

หลังจากประกอบเซลล์แสงอาทิตย์ชนิดสีเขียวไว้แล้ว (บนกระจกนำไฟฟ้า) จะได้ลักษณะดังแสดงในภาพที่ 4.8 นำเซลล์ไปวัดประสิทธิภาพได้ผลดังภาพที่ 4.9 และตารางที่ 4.2 เห็นได้ว่า ความหนาแน่นกระแสจราจรปีค (J_{sc}) ของ Modified-MWCNTs DSSC (12.70 mA/cm²) มากกว่า MWCNTs DSSC (9.91 mA/cm²) ซึ่งพบว่าการปรับแต่งผิวท่อนาโนคาร์บอนมีผลเพิ่มความหนาแน่นกระแสของ DSSC แต่มีผลในทางลบคือค่าความต่างศักย์แรงบิด (V_{oc}) จะลดลงโดยก่อนปรับแต่งมี V_{oc} เท่ากับ 0.78 V หลังปรับแต่งเท่ากับ 0.73 V ค่า Fill factor ของทั้งสองเงื่อนไขมีค่าเท่ากันคือ 0.61 ค่าประสิทธิภาพแสงอาทิตย์ของ Modified-MWCNTs DSSCs คือ 5.66% ซึ่งมากกว่า MWCNTs DSSCs (4.73%) แต่จะพบว่าเซลล์แสงอาทิตย์ทั้งสองนั้นมีประสิทธิภาพและ Fill Factor ที่น้อยกว่า Pt DSSCs (6.08%, 0.80) เนื่องจาก Pt เป็นตัวเร่งปฏิกิริยาที่ดีกว่าท่อนาโน

การรับอนัชิงผลที่ได้สอดคล้องกับผลของ CV และเพื่อยืนยันผลจึงวิเคราะห์ความต้านทานเชิงซ้อนของระบบเซลล์แสงอาทิตย์ด้วยเทคนิค Electrochemical Impedance Spectroscopy (EIS) ซึ่งจะอธิบายในหัวข้อต่อไป



ภาพที่ 4.8 ภาพถ่ายของเซลล์แสงอาทิตย์ชนิดลีดี้อัมไวน์แสง (บันกระจากน้ำไฟฟ้า)



ภาพที่ 4.9 แสดงความสัมพันธ์ระหว่างความหนาแน่นกระแสกับความต่างศักย์ MWCNTs DSSC, Modified-MWCNTs DSSC และ Pt DSSC บนกระจากน้ำไฟฟ้า

ตารางที่ 4.2 สรุปค่า R_s , R_{CE} , C_{CE} , R_{ct} , V_{oc} , J_{sc} , FF และ η ของเซลล์แสงอาทิตย์ที่ใช้ฟิล์ม MWCNTs, Modified-MWCNTs และ Pt เคลือบบนกระженนำไฟฟ้าเป็นขั้วคาน์เตอร์

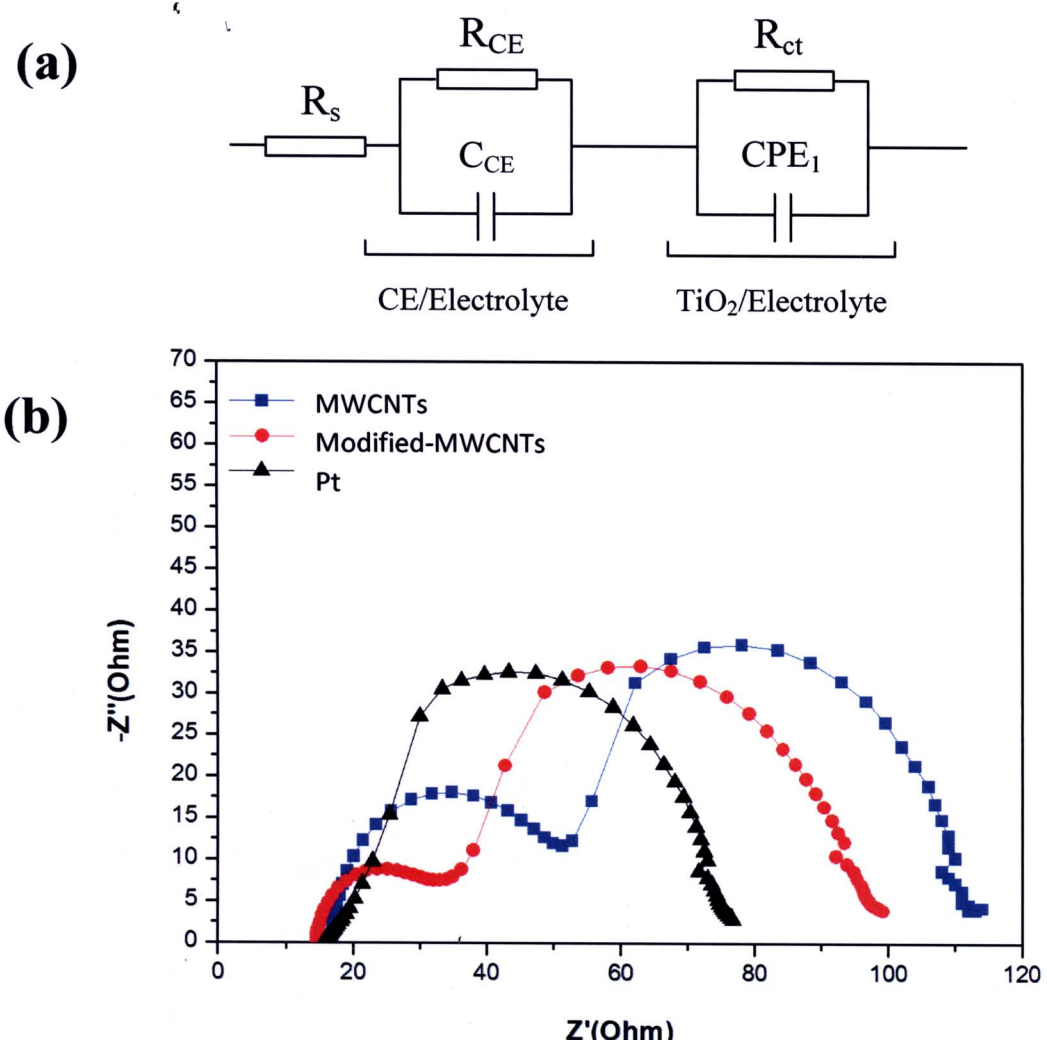
| Counter electrode | R_s (Ohm) | R_{CE} (Ohm) | C_{CE} (μF) | R_{ct} (Ohm) | V_{oc} (V) | J_{sc} (mA/cm ²) | FF | η (%) |
|-------------------|----------------|-------------------|------------------|-------------------|-----------------|-----------------------------------|------|----------|
| MWCNTs | 18 | 34 | 2.2 | 60 | 0.78 | 9.91 | 0.61 | 4.73 |
| Modified-MWCNTs | 14 | 19 | 2.3 | 61 | 0.73 | 12.70 | 0.61 | 5.66 |
| Pt sputtered (Pt) | 16 | 2 | 0.1 | 60 | 0.76 | 10.02 | 0.80 | 6.08 |

4.1.2.2 ผลการศึกษาความต้านทานเชิงช้อนของเซลล์แสงอาทิตย์ที่ใช้ฟิล์ม MWCNTs ผสม PVDF บนกระженนำไฟฟ้าเป็นขั้วคาน์เตอร์

ความต้านทานเชิงช้อนของเซลล์แสงอาทิตย์ท่อนาโนคาร์บอน (MWCNTs DSSC) และเซลล์แสงอาทิตย์ท่อนาโนคาร์บอนที่ปรับแต่งผิว (Modified-MWCNTs DSSC) ถูกวิเคราะห์ด้วย EIS พบว่าเซลล์แสงอาทิตย์ควรบอนแสดงครึ่งวงกลม 3 วง การเกิดความสัมพันธ์ระหว่างความต้านทานจริงกับความต้านทานจินตภาพในลักษณะนี้สามารถอธิบายได้โดยวงจรสมมูล (Equivalent Circuit) แสดงในภาพที่ 4.10 (a) เมื่อ R_s คือ Series Resistance, R_{CE} คือ Electron-Transfer Resistances ที่ผิวน้ำระหว่าง CE/Electrolyte, R_{ct} คือ Electron-Transfer Resistances ที่ผิวน้ำระหว่าง TiO_2 /Dye/Electrolyte, C_{CE} คือ ค่าการเก็บประจุระหว่างผิวน้ำของ CE/Electrolyte และ CPE₁ คือ Constant Phase Element ที่ผิวน้ำระหว่าง TiO_2 /Dye/Electrolyte ตามลำดับ สามารถอธิบายพฤติกรรมที่เกิดขึ้นในระบบเซลล์แสงอาทิตย์ได้ด้วยสมการ 3.3 ถึงสมการ 3.11 โปรแกรม Echem Analyst ถูกใช้พิจารณาค่าของ R_s , R_{CE} และ R_{ct} ผลแสดงในตารางที่ 4.7 พบว่า R_{CE} ของ Modified-MWCNTs DSSC มีค่าเท่ากับ 19 Ohm ซึ่งมีค่าน้อยกว่า MWCNTs DSSCs ที่มีค่าเท่ากับ 34 Ohm โดยค่า Electron-Transfer Resistances ที่น้อยนีผลดีต่อเซลล์แสงอาทิตย์และค่าที่ได้นี้สอดคล้องกับผลของประสิทธิภาพเซลล์แสงอาทิตย์ที่ Modified-MWCNTs DSSC มีค่ามากกว่า MWCNTs DSSC แต่เซลล์แสงอาทิตย์ทั้งสองนี้มีค่า R_{CE} มากกว่าของ Pt DSSC ซึ่งสอดคล้องกับผลประสิทธิภาพที่ Pt DSSC มีประสิทธิภาพสูงสุด ส่วนค่า R_{ct} ของเซลล์แสงอาทิตย์ทั้ง 3 มีค่าใกล้เคียงกัน เหตุผลที่ R_{CE} ของ Modified-MWCNTs DSSC น้อยกว่าเนื่องจากหลังการปรับแต่งผิวแล้วท่อนาโนคาร์บอนสามารถกระจายตัวเป็นฟิล์มได้ดีกว่า MWCNTs

ดังภาพที่ 4.5 และเกิดปฏิกิริยาออกซิเดชั่นกับอิเล็กโตรไอล์ต์ได้ดีทำให้ความต้านทาน R_{CE} น้อยกว่า และจากผลการฟิตยังพบว่าค่าการเก็บประจุของเซลล์ควรบอนมีค่ามากกว่าเซลล์ Pt ซึ่งสอดคล้องกับผลของ CV

การปรับแต่งพิวท์ตอนานิการบอนด้วยกรดซัลฟิลิกและกรดไนตริกทำให้มีหมุนค่ารับออกซิโลเ加เบนพิวท์โดยหมุนค่ารับออกซิโลนี้ช่วยในการเกิดปฏิกิริยาไฟฟ้าเคมีกับสารละลายอิเล็กโตรไอล์ต์ อีกทั้งยังช่วยในการกระจายตัวของห่อนานิการบอนให้เป็นฟิล์มที่มีความสม่ำเสมอดีขึ้น ทั้งนี้ สอดคล้องกับผล CV และการลดลงของ Electron-Transfer Resistances ที่ขึ้นเคาน์เตอร์มีผลปรับปรุงให้ประสิทธิภาพของเซลล์แสงอาทิตย์ดีขึ้น

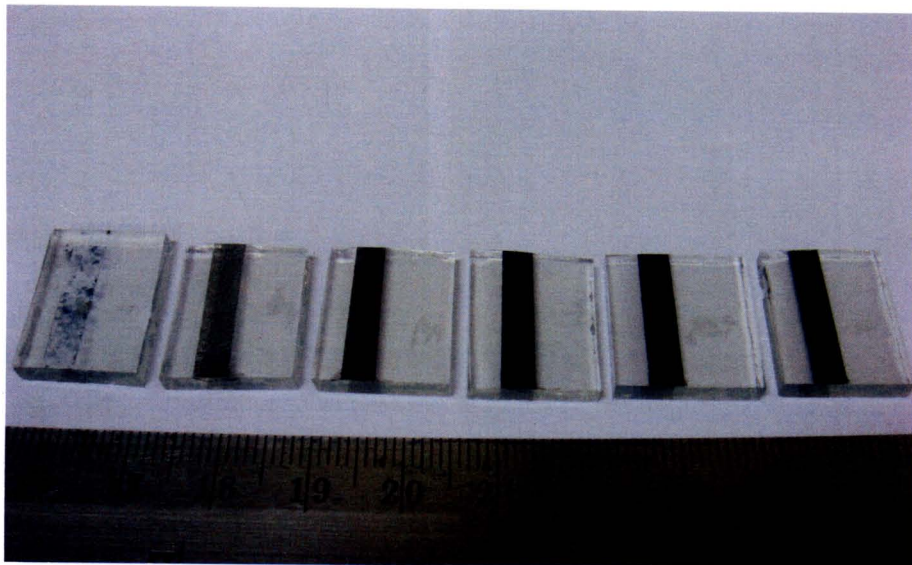


ภาพที่ 4.10 (a) วงจรสมมูลของ DSSCs (b) Nyquist plots ของ MWCNTs DSS, Modified-MWCNTs DSSC และ Pt DSSC ที่ AC amplitude 10 mV ความถี่จาก 0.1Hz ถึง 100,000 Hz

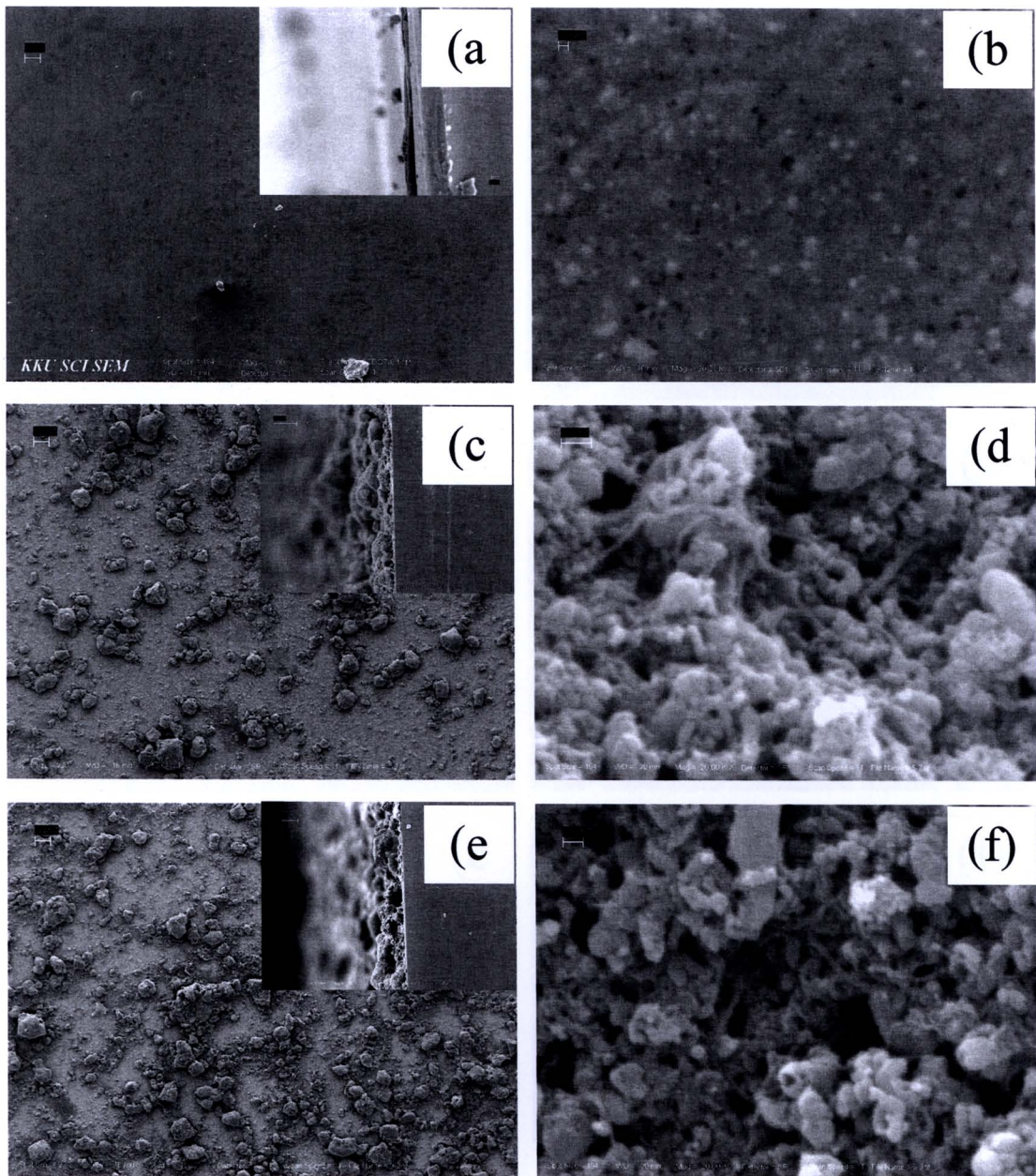
4.1.4 ฟิล์ม MWCNTs ผสม PEDOT-PSS เป็นขั้นตอนนี้เตอร์รับน้ำไฟฟ้า

4.1.4.1 ลักษณะฟิล์ม Modified-MWCNTs ผสม PEDOT-PSS บนกระจกนำไฟฟ้า

ลักษณะของฟิล์ม Modified-MWCNTs ผสม PEDOT-PSS บนกระจกนำไฟฟ้าแสดงดังภาพที่ 4.11 พบว่าความเข้มของฟิล์มนีสีดำมากขึ้นเมื่อปริมาณ Modified-MWCNTs เพิ่มมากขึ้น โดยในเงื่อนไขที่ไม่มี Modified-MWCNTs นั้นฟิล์มนีสีน้ำเงินใส เมื่อพิจารณาภาพถ่าย SEM พบว่าฟิล์มเงือนๆ ที่ไม่มี Modified-MWCNTs เลยนนั้นฟิล์มจะเรียบ เมื่อเติม Modified-MWCNTs ผสมใน PEDOT-PSS จะพบท่อนาโนคาร์บอน และมีโพลิเมอร์ปิดอยู่ที่ผิวท่อนาโนคาร์บอน เมื่อเติม Modified-MWCNTs เพิ่มขึ้นจะสังเกตได้ว่าโพลิเมอร์ที่ปิดผิวท่อนาโนคาร์บอนน้อยลง และจากเหตุนี้น่าจะทำให้พื้นที่ผิวสัมผัสของฟิล์มในเงื่อนไขที่เติม Modified-MWCNTs มีมากกว่าไม่เติม แต่เมื่อเติมคาร์บอนเป็น 0.5 g พบว่าฟิล์มเกิดการหลุดลอกน่าจะเป็นเพราะมีอัตราส่วนของโพลิเมอร์ที่ใช้ดีเก่าكار์บอนกับกระจกนำไฟฟ้าน้อยเกินไป ทำให้เกิดการหลุดลอกของฟิล์มได้ซึ่งเป็นผลเสียต่อเซลล์แสงอาทิตย์ ภาพถ่าย SEM ที่กำลังขยายตัว พบว่ามีการกระจายตัวเป็นกลุ่มก้อน Modified-MWCNTs ผสม PEDOT-PSS ด้วยขนาดต่างๆ กัน และมีการกระจายตัวดีขึ้นเมื่อเพิ่มปริมาณ Modified-MWCNTs ความหนาของฟิล์มนีแนวโน้มเพิ่มตามปริมาณ Modified-MWCNTs โดยที่ 0.1 g หนา ~ 15 μm และหนาที่สุดที่ 0.4 g และ 0.5 g หนา ~30 μm

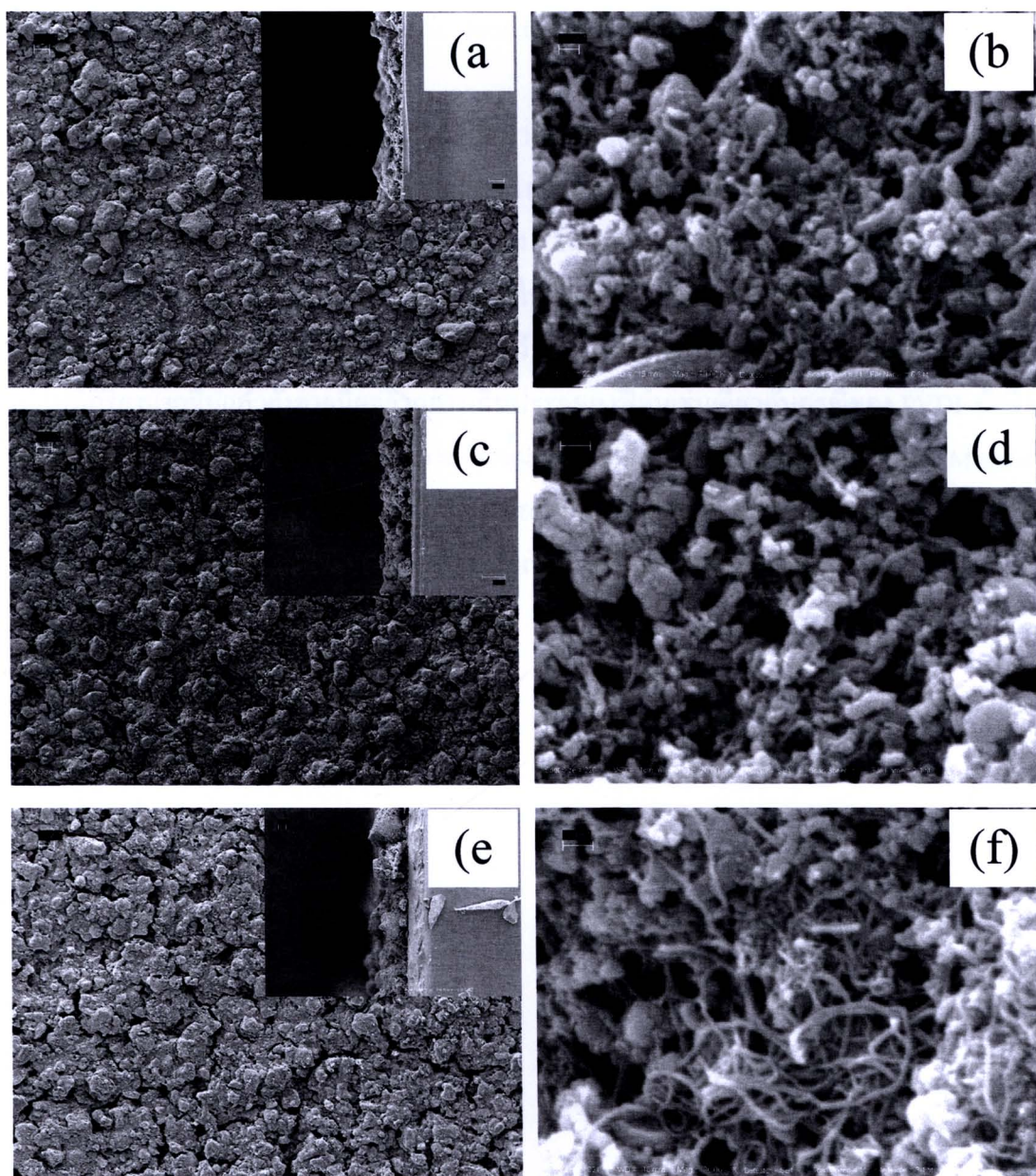


ภาพที่ 4.11 ฟิล์ม Modified-MWCNTs ผสม PEDOT-PSS บนกระจกนำไฟฟ้า



ภาพที่ 4.12 ภาพถ่าย SEM ฟิล์ม Modified-MWCNTs ปริมาณต่างๆ ผสม PEDOT-PSS บนกระชากนำไปไฟฟ้า

- (a) 0.0 g กำลังขยาย 100 เท่า (b) 0.0 g กำลังขยาย 20000 เท่า (c) 0.1 g กำลังขยาย 100 เท่า
- (d) 0.1 g กำลังขยาย 20000 เท่า (e) 0.2 g กำลังขยาย 100 เท่า (f) 0.2 g กำลังขยาย 20000 เท่า

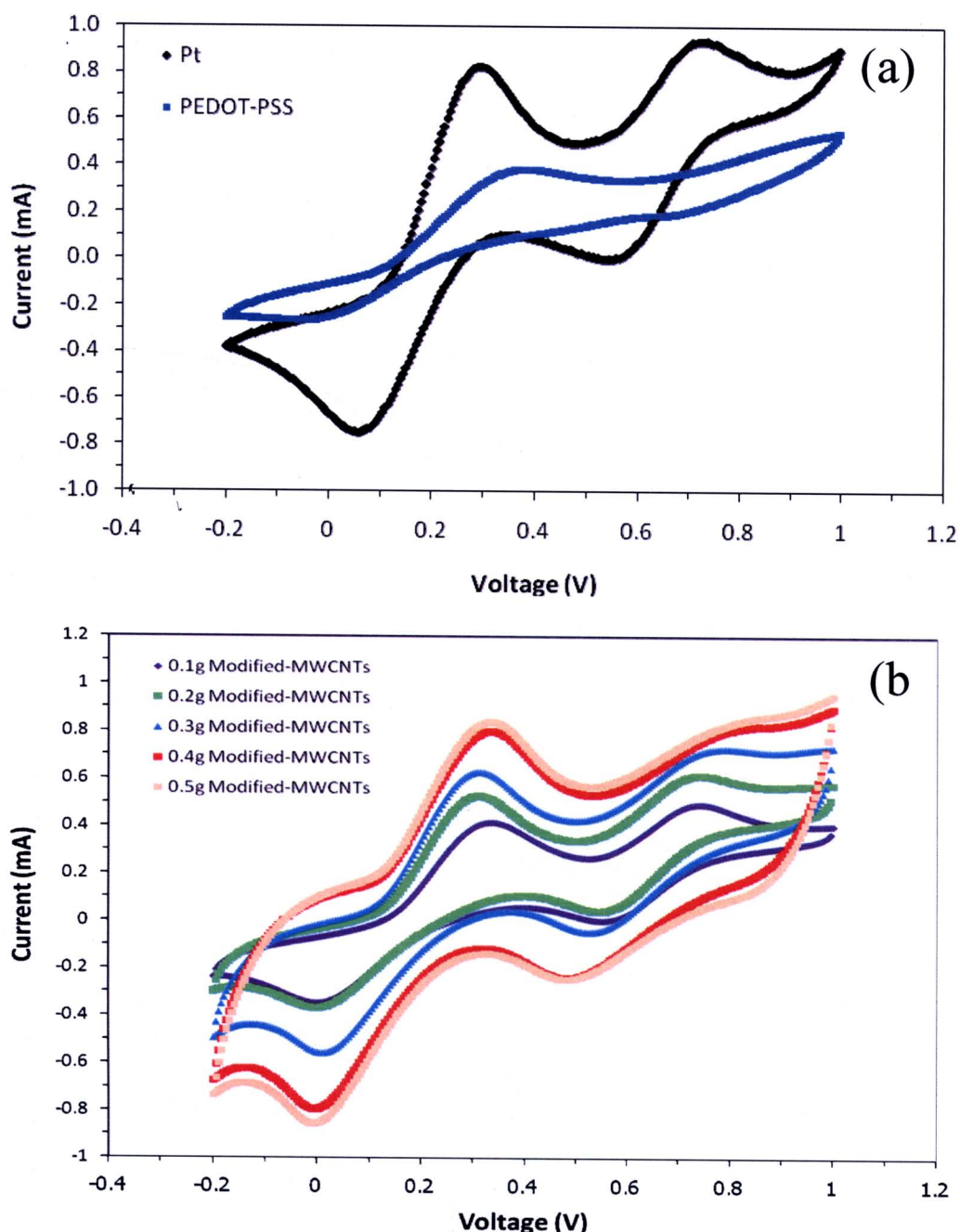


ภาพที่ 4.13 ภาพถ่าย SEM ฟิล์ม Modified-MWCNTs ปริมาณต่างๆ ผสม PEDOT-PSS บนกระดาษ
นำไปเผา

- (a) 0.3 g กำลังขยาย 100 เท่า (b) 0.3 g กำลังขยาย 20000 เท่า (c) 0.4 g กำลังขยาย 100 เท่า
- (d) 0.4 g กำลังขยาย 20000 เท่า (e) 0.5 g กำลังขยาย 100 เท่า (f) 0.5 g กำลังขยาย 20000 เท่า

4.1.4.2 ผลการศึกษาฟิล์ม Modified-MWCNTs ผสม PEDOT-PSS บนกระชานนำไปฟื้นโดยเทคนิค CV

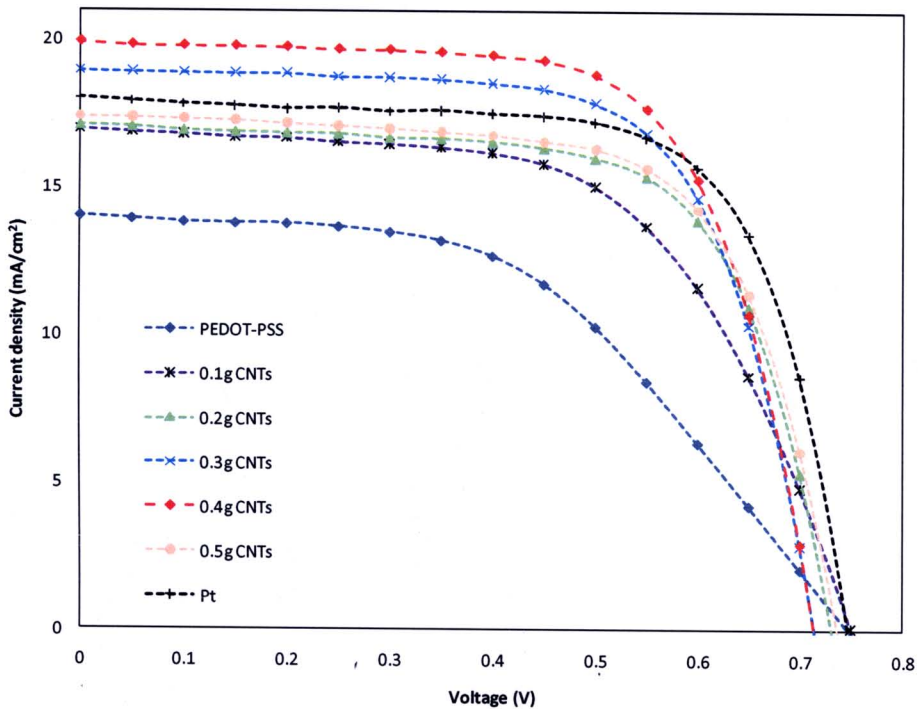
เมื่อเปลี่ยนแปลงปริมาณ Modified-MWCNTs ที่ผสมกับ PEDOT-PSS ส่งผลต่อการเกิดปฏิกิริยา กับสารอิเล็กโทรไลต์ ถ้าเพิ่มปริมาณ Modified-MWCNTs ขึ้น การเกิดปฏิกิริยาจะเกิดมากขึ้นดังแสดงในภาพที่ 4.14 จากภาพพบว่า ความสูงของพีคเพิ่มขึ้นตามปริมาณ Modified-MWCNTs โดยที่ปริมาณ 0.5 g นั้นให้พีคที่สูงที่สุดและสังเกตได้ว่าพีค มีการเลื่อนไปเล็กน้อย การสูงขึ้นของพีคที่เกิดจากความกว้างของเส้นกราฟนอกจากจะเป็นผลมาจากการเกิดปฏิกิริยามากขึ้นแล้วยังอาจมีผลจากการเก็บประจุของฟิล์ม เช่นเดียวกับกรณีของ PVDF ถ้าฟิล์มนีการเก็บประจุมากกราฟจะกว้างอ่อนมาก ดังนั้นจากภาพที่ 4.14 จึงสรุปได้ว่าที่ปริมาณ Modified-MWCNTs 0.4 g และ 0.5 g นั้นเกิดปฏิกิริยาเริ่ดอกร้าวมากที่สุด ผลของ CV อย่างเดียวยังไม่หนักแน่นพอจึงจำเป็นต้องมีการทดสอบด้วย EIS เพื่อเป็นการยืนยันผลให้ชัดเจน



ภาพที่ 4.14 (a) Cyclic Voltammograms ของฟิล์ม Pt และ PEDOT-PSS บนกระженนำไปไฟฟ้า ในสารละลาย Acetonitrile 10 mM LiI, 1 mM I₂ และ 0.1 M LiClO₄ โดยใช้ Scan rate ที่ 20 mV/s
 (b) Cyclic Voltammograms ของฟิล์ม Modified-MWCNTs ปริมาณต่างๆ ผสม PEDOT-PSS บนกระженนำไปไฟฟ้า ในสารละลาย Acetonitrile 10 mM LiI, 1 mM I₂ และ 0.1 M LiClO₄ โดยใช้ Scan rate ที่ 20 mV/s

4.1.3.4 ผลการศึกษาประสิทธิภาพเซลล์แสงอาทิตย์ที่ใช้ฟิล์ม Modified-MWCNTs พสม PEDOT-PSS เป็นขั้วเคาน์เตอร์บันกระเจกนำไฟฟ้า

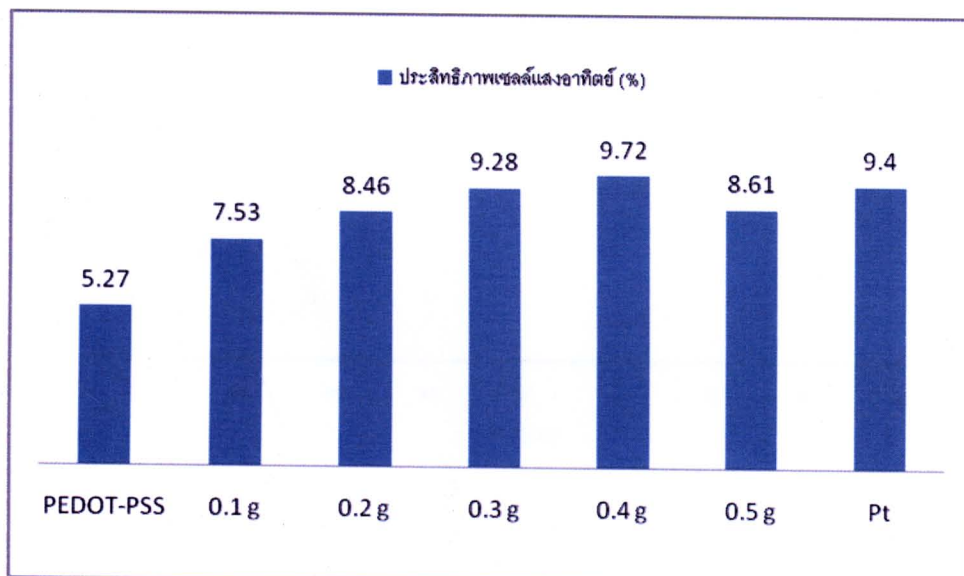
การเพิ่มปริมาณ Modified-MWCNTs ที่ผสมกับ PEDOT-PSS ส่งผลต่อกระแสโดยตรงจากภาพที่ 4.15 เห็นได้ว่าเมื่อปริมาณ Modified-MWCNTs เพิ่มขึ้นความหนาแน่นกระแสเพิ่มขึ้นตาม แต่ที่ 0.5 g ความหนาแน่นกระแสลดลง โดยค่า J_{sc} เพิ่มขึ้นจาก 14.02 mA/cm^2 ที่ 0.0 g เป็น 19.91 mA/cm^2 ที่ 0.4 g และลดลงเป็น 17.39 mA/cm^2 ที่ 0.5 g Fill Factor มีแนวโน้มตามกระแส เหตุที่เป็นเช่นนี้เนื่องมาจากเมื่อเพิ่มปริมาณ Modified-MWCNTs การกระจายตัวของฟิล์มดีขึ้น และความหนาเพิ่มขึ้นทำให้พื้นที่ผิวสัมผัสถกับอิเล็กโตร ไอลต์มากตามไปด้วย จึงมีโอกาสที่จะเกิดปฏิกิริยา กัน I_3^- ได้มากขึ้น ซึ่งสอดคล้องกับผลของ CV และประสิทธิภาพของเซลล์แสงอาทิตย์ เป็นไปตามแนวโน้มของกระแส คือประสิทธิภาพสูงสุด ~9.72 % ที่เงื่อนไข 0.4 g ส่วนในเงื่อนไข 0.5 g (~8.61 %) ซึ่งประสิทธิภาพที่ลดลงนั้นอาจเกิดการหลุดลอกของฟิล์มเคาน์เตอร์บันงส่วนหลังจากการประกอบเซลล์เนื่องจากมีโพลิเมอร์ผสมในฟิล์มน้อยเกินไป



ภาพที่ 4.15 แสดงความสัมพันธ์ระหว่างความหนาแน่นกระแสกับความต่างศักย์ ของ Modified-MWCNTs/PEDOT-PSS DSSC โดยปริมาณ Modified-MWCNTs เป็น 0.0 g , 0.1 g , 0.2 g , 0.3 g , 0.4 g , 0.5 g ตามลำดับซึ่งมีการเปรียบเทียบกับ Pt DSSC

ตารางที่ 4.3 สรุปค่า V_{oc} , J_{sc} , FF และประสิทธิภาพของเซลล์แสงอาทิตย์ (%) ของ Modified-MWCNTs/PEDOT-PSS DSSC โดยปริมาณ Modified-MWCNTs เป็น 0.0 g, 0.1 g, 0.2 g, 0.3 g, 0.4 g, 0.5 g และ Pt บนกระชานนำไปฟื้น

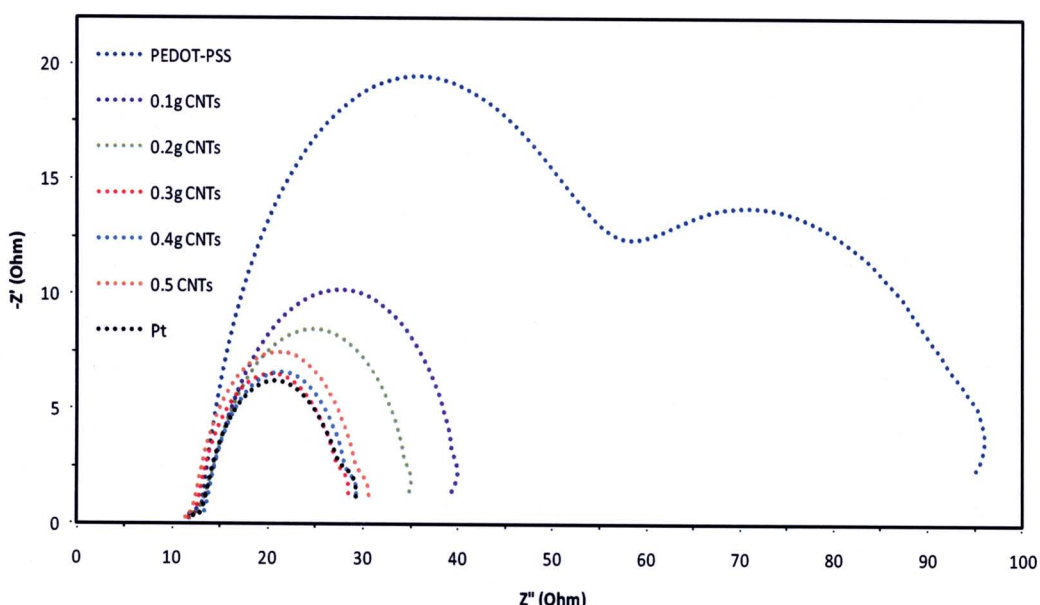
| Counter electrode | V_{oc} (V) | J_{sc} (mA/cm^2) | FF | η (%) |
|-----------------------|--------------|--------------------------------------|------|------------|
| PEDOT-PSS | 0.75 | 14.02 | 0.50 | 5.27 |
| 0.1 g Modified-MWCNTs | 0.75 | 16.96 | 0.59 | 7.53 |
| 0.2 g Modified-MWCNTs | 0.73 | 17.10 | 0.67 | 8.46 |
| 0.3 g Modified-MWCNTs | 0.71 | 18.95 | 0.69 | 9.28 |
| 0.4 g Modified-MWCNTs | 0.71 | 19.91 | 0.69 | 9.72 |
| 0.5 g Modified-MWCNTs | 0.74 | 17.39 | 0.67 | 8.61 |
| Pt | 0.75 | 18.01 | 0.70 | 9.40 |



ภาพที่ 4.16 แสดงความสัมพันธ์ระหว่างปริมาณ Modified-MWCNTs กับประสิทธิภาพเซลล์แสงอาทิตย์

4.1.3.5 ผลการศึกษาความต้านทานเชิงช้อนของเซลล์แสงอาทิตย์ฟิล์ม Modified-MWCNTs ผสม PEDOT-PSS บนกระจานนำไปไฟฟ้า

ผลการวัด EIS ของเซลล์แสงอาทิตย์ Modified-MWCNTs ผสม PEDOT-PSS บนกระจานนำไปไฟฟ้าแสดงในภาพที่ 4.17 พบว่า PEDOT-PSS DSSC นั้นมีความต้านทานรวมมากที่สุด ~83 Ohm มีอัตโนมัติ Modified-MWCNTs เข้าไป 0.1 g ความต้านทานลดลงเป็น ~38 Ohm และความต้านทานลดลงเรื่อยๆ เมื่อ Modified-MWCNTs เพิ่มขึ้นที่ 0.4 g มีความต้านทานรวมน้อยที่สุดคือ ~16 Ohm ส่วนที่ 0.5 g ความต้านเพิ่มขึ้นเล็กน้อย ผลของ EIS นี้สอดคล้องกับค่าประสิทธิภาพเซลล์แสงอาทิตย์ที่ได้ จากผลการทดลอง EIS สรุปได้ว่าการลดลงของความต้านทาน เป็นเหตุให้ประสิทธิภาพของเซลล์แสงอาทิตย์สูงขึ้น จากข้อมูลนี้สรุปได้ว่าการเพิ่มปริมาณสารบอน นอกจากจะช่วยเพิ่มภาระในการเกิดปฏิกิริยาเคมียังช่วยลดความต้านทานของระบบเซลล์แสงอาทิตย์ได้

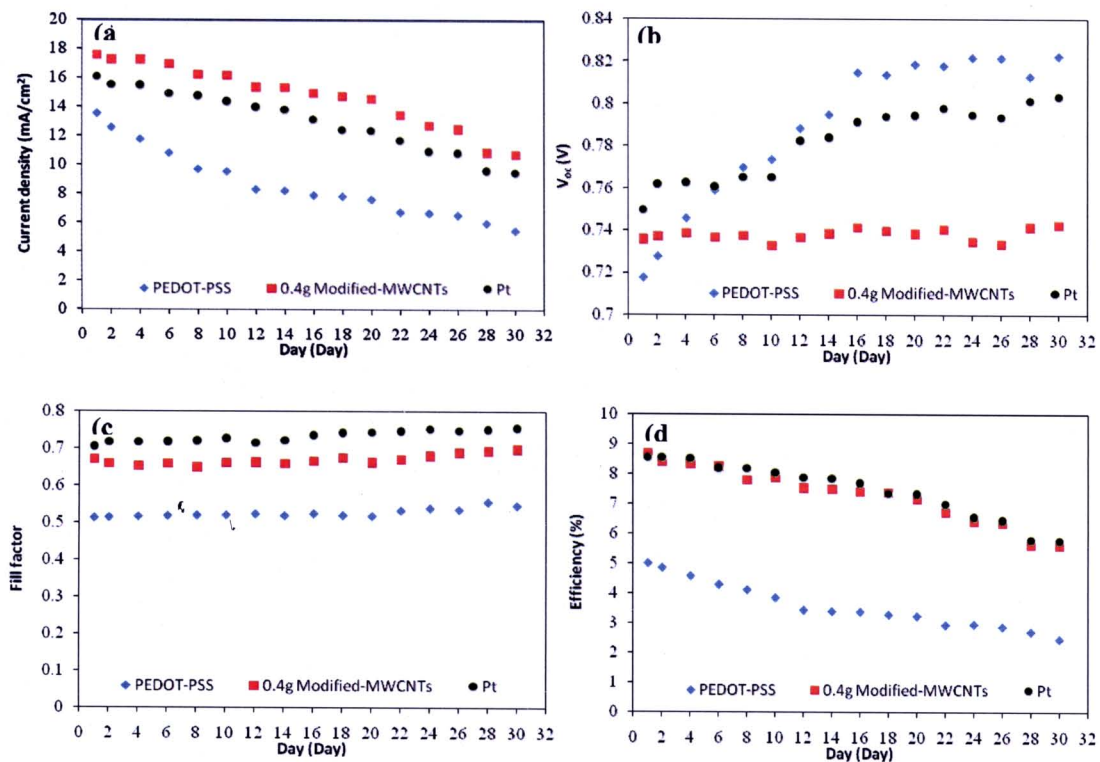


ภาพที่ 4.17 Nyquist plots ของ Modified-MWCNTs /PEDOT-PSS DSSC และ Pt DSSC

4.1.3.6 ความเสถียรของเซลล์แสงอาทิตย์ชนิดสียอม ไวแสง(Stabilities)

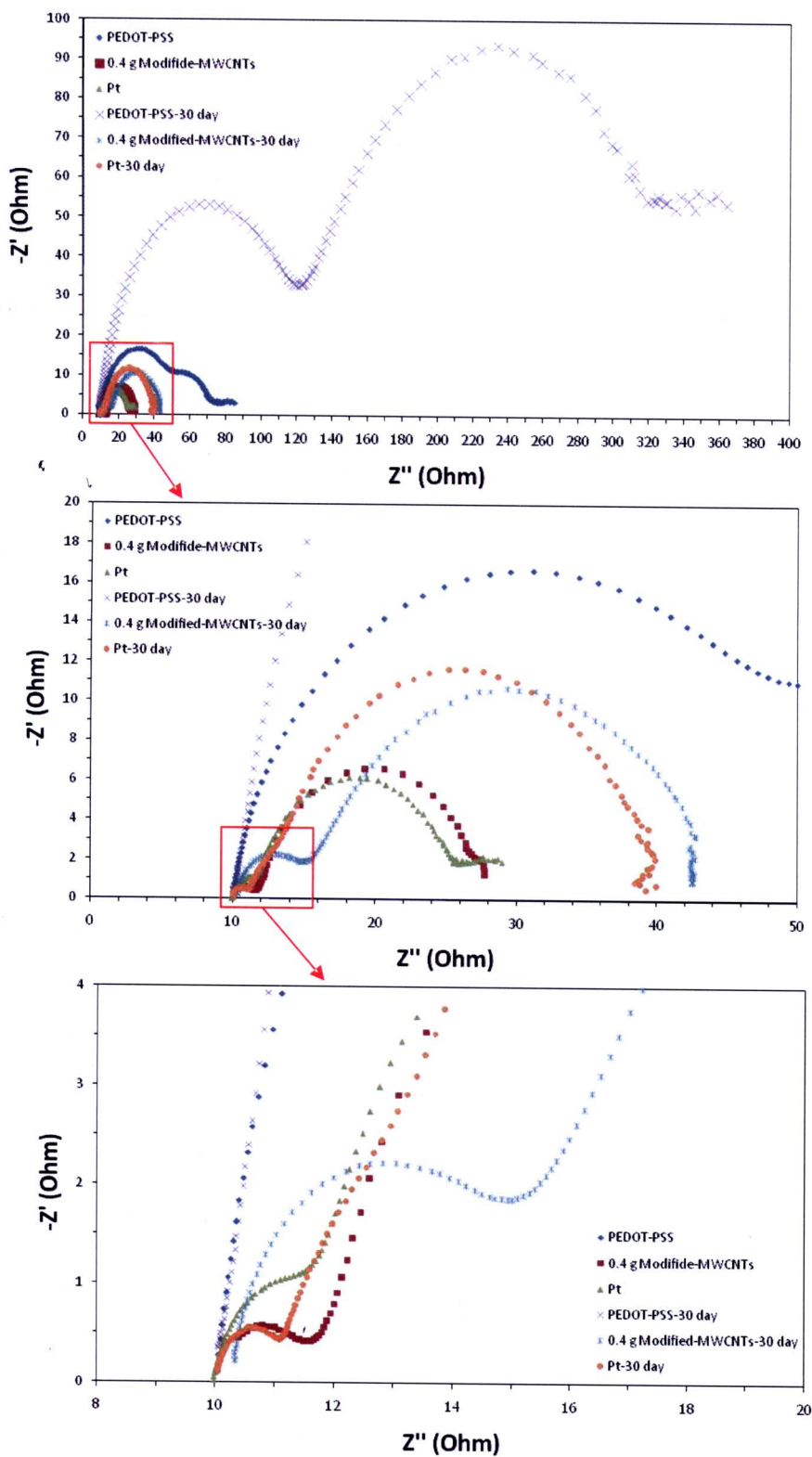
เมื่อทำการวัดประสิทธิภาพจากวันที่ 1 ถึงวันที่ 30 พบว่าประสิทธิภาพของเซลล์แสงอาทิตย์ลดลงอย่างต่อเนื่อง โดยวันแรกประสิทธิภาพของ 0.4 g Modified-MWCNTs-PEDOT-PSS DSSC เท่ากับ 8.70 % และเมื่อถึงวันที่ 30 พบว่าประสิทธิภาพลดลงเหลือ 5.61 % และประสิทธิภาพของ Pt DSSC ในวันแรกเท่ากับ 8.55 % และถึงวันที่ 30 ลดเหลือ 5.78 % ดังแสดงใน

ภาพที่ 4.18 เห็นได้ว่ากระแสคลองเมื่อระยะเวลาเพิ่มมากขึ้น แต่ความต่างศักย์ของ PEDOT-PSS DSSC และ Pt DSSC มีแนวโน้มเพิ่มตามระยะเวลาที่เพิ่ม ส่วนค่า Fill Factor ทั้งสามเงื่อนไขนี้ค่า ใกล้เคียงกับค่าวันแรกๆ เหตุผลที่เป็นเช่นนี้ เพราะในเซลล์แสงอาทิตย์ที่ใช้ในไอดีคิโตรไลด์เป็นของเหลว้นนั้นต้องมีการซิลิที่สมบูรณ์แบบมากๆ เพื่อหลีกเลี่ยงการร้าวไหลของสารละลายในใน อิเดคิโตรไลด์คือ Acetonenitire ซึ่งถ้าเกิดการร้าวไหลจะส่งผลต่อกระแส และประสิทธิภาพ ดังนั้น ความพนพาณของตัวเซลล์แสงอาทิตย์จึงลดลง (Grätzel, 2004) และเซลล์แสงอาทิตย์ที่ประกอบขึ้น ในงานวิจัยก็ประสบปัญหาจากการซิลิที่ไม่สมบูรณ์ เช่นกันทำให้ในไอดีคิโตรไลด์ร้าว แต่ทั้งนี้ยัง พบว่าประสิทธิภาพในวันที่ 30 ของ 0.4g Modified-MWCNTs-PEDOT-PSS DSSC นั้นอยู่กว่า Pt DSSC เนื่องจากเกิดการเสื่อมสภาพของ PEDOT-PSS ซึ่งเป็นตัวประสานช่วยในการยึดเกาะ ของ Modified-MWCNTs บนกระจากนำไฟฟ้า ดังนั้นมีเวลาผ่านไปปัจจุบันเกิดการหลุดของฟิล์ม Modified-MWCNTs ทำให้การรับส่งอิเล็กตรอนที่ข้าวเคนเน็ตอร์คลองปฏิกิริยาเรียกชั่นจึงลดน้อยลง ส่งผลต่อประสิทธิภาพให้ลดลง ในภาพที่ 4.19 ผลของ EIS เปรียบเทียบระหว่างวันแรกและ วันที่ 30 พบว่าในวันที่ 30 นั้น ทุกเงื่อนไขมีค่าความต้านทานรวมของเซลล์เพิ่มขึ้นจากวันแรก ในกรณีของ Pt DSSC นั้นความต้านทานของข้าวเคนเน็ตอร์มีค่าใกล้เคียงกันมาก แต่ในกรณีของ 0.4g Modified-MWCNTs-PEDOT-PSS DSSC และ PEDOT-PSS DSSC ความต้านทานของ ข้าวเคนเน็ตอร์ในวันที่ 30 เพิ่มขึ้นจากวันแรกที่ทำการวัด ซึ่งผลนี้บ่งชี้ถึงการเปลี่ยนแปลงภายในข้าว ของเคนเน็ตอร์อย่างชัดเจน



ภาพที่ 4.18 กราฟของ (a) ความหนาแน่นกระแสแสงจรเปิด (J_{sc}) (b) ความต่างศักย์วงจรเปิด (V_{oc})
(c) Fill Factor (FF) และ (d) ประสิทธิภาพ (η) กับ ระยะเวลา





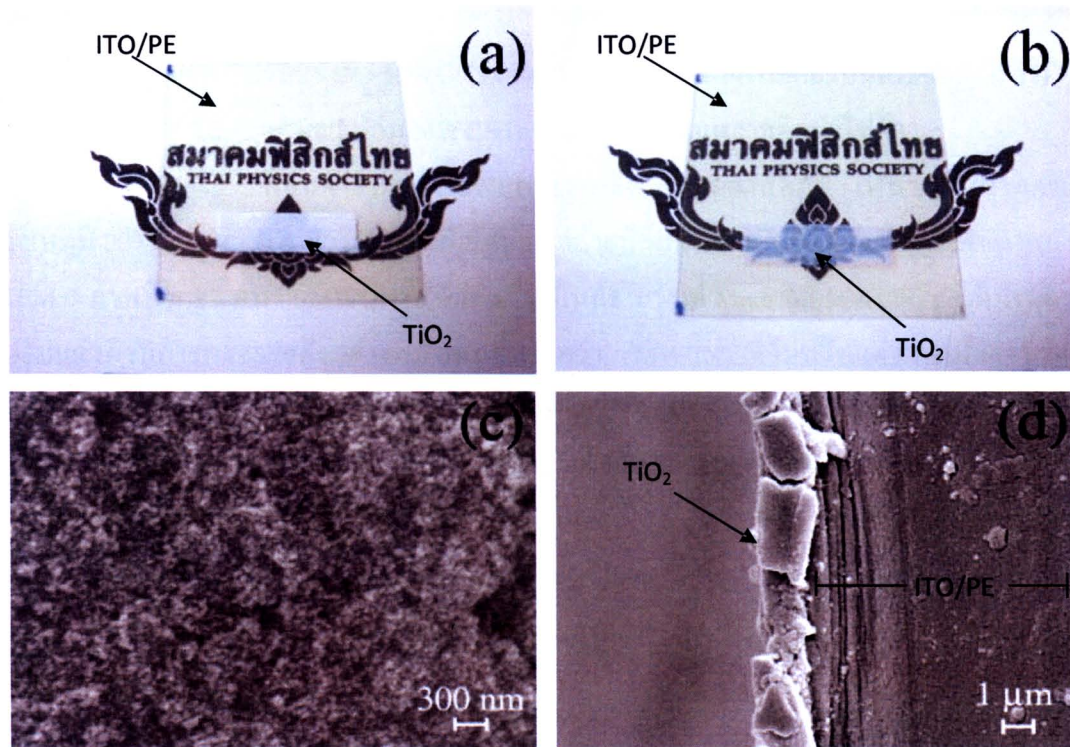
ภาพที่ 4.19 Nyquist plots ของเซลล์แสงอาทิตย์วัดในวันแรกและวัดในวันที่ 30

4.2 ผลการศึกษาเซลล์แสงอาทิตย์ชนิดสีอ่อนไวแสงแบบพลาสติก (Flexible dye-sensitized solar cell)

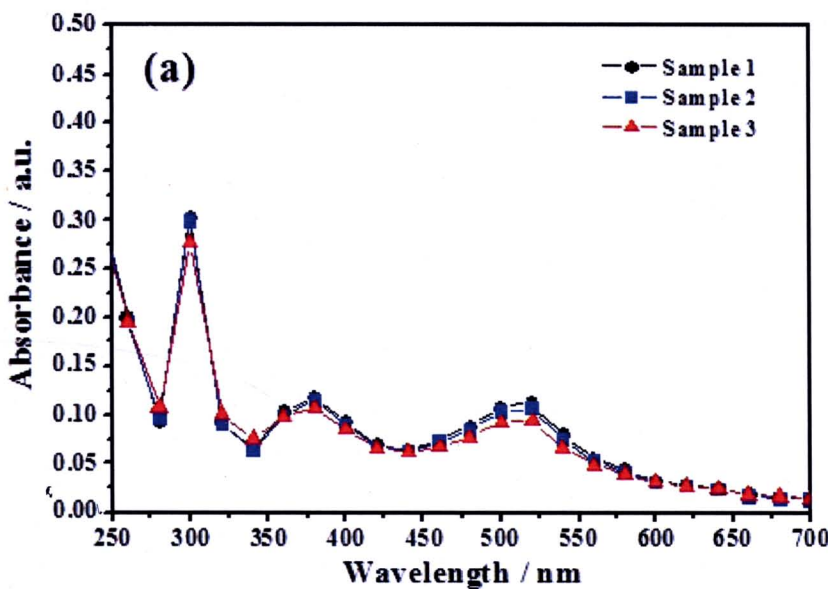
4.2.1 ฟิล์ม TiO_2 บนพลาสติกนำไฟฟ้า

ฟิล์ม TiO_2 มีสีขาวนวลดังแสดงในภาพที่ 4.20 (a) เมื่อนำฟิล์มไปอัดด้วยแรง 3 ตัน จะได้ฟิล์ม TiO_2 ใสขึ้นจนมองเห็นค่านหัง (ดังแสดงในภาพที่ 4.20 (b)) เนื่องจากเม็ดของ TiO_2 ซึ่งกันมากขึ้น ภาพที่ 4.20 (c) และ 4.20(d) แสดงภาพถ่าย SEM ของฟิล์ม TiO_2 บนพลาสติกนำไฟฟ้า โดยฟิล์มมีความหนาประมาณ 2-3 μm เมื่อย้อมฟิล์ม TiO_2 ด้วย Dye ชนิด N719 เป็นเวลา 24 ชั่วโมง ฟิล์ม TiO_2 จะเปลี่ยนเป็นสีชมพูอมม่วงเนื่องจากเม็ดสีของ Dye มาเกาะบนฟิล์ม TiO_2

ปริมาณสีอ่อนที่เกาะบนฟิล์มไวนิลจะออกไซด์ทั้ง 3 ตัวอย่าง เมื่อวิเคราะห์ด้วยเทคนิค UV-Vis Spectroscopy พบว่ามีปริมาณที่ใกล้เคียงกันดังเห็นจากภาพที่ 4.21 ดังนั้นการเตรียมฟิล์ม TiO_2 ด้วยวิธีอัดจะได้ความหนาที่ใกล้เคียงกัน และลักษณะพิเศษการคุณลักษณะที่ได้เหมือนกับฟิล์ม TiO_2 บนกระจกนำไฟฟ้า โดยอาศัยสมการที่ 4.1 และ 4.2 สามารถคำนวณโมเลกุลของสีอ่อนที่เกาะบนฟิล์ม TiO_2 ที่เคลือบบนพลาสติกนำไฟฟ้า ($\text{TiO}_2/\text{ITO}/\text{PEN}$) ได้ค่าเฉลี่ยคือ $\sim 2.79 \times 10^{-8} \text{ mol}$.



ภาพที่ 4.20 ภาพถ่ายของฟิล์ม TiO_2 บนพลาสติกนำไฟฟ้า (a) ก่อนอัด (b) หลังอัด (c) ภาพ SEM ถ่ายด้านบน และ (d) ภาพ SEM ถ่ายตามยาว

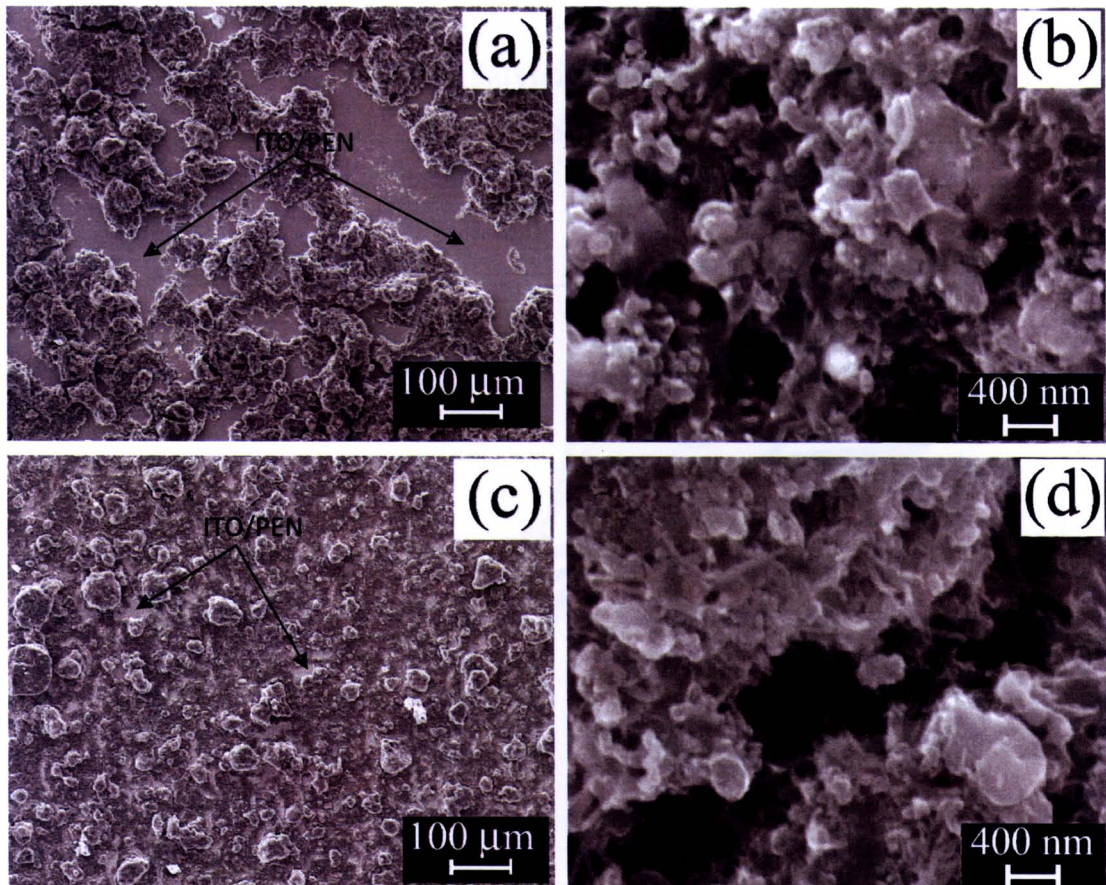


ภาพที่ 4.21 กราฟการคูณกึ่นแสง (Absorbance) ของ Dye ชนิด N719 ที่เก็บบนฟิล์มไทด์เทเนียมได้ ออกไซด์บันพลาสติกนำไฟฟ้า 3 ตัวอย่าง ในช่วงความยาวคลื่น 250-700 nm

4.2.2 ผลการปรับแต่งผิว MWCNTs ผสม PVDF เป็นขั้วเคาน์เตอร์บนกระจุกนำไฟฟ้า

4.2.2.1 ลักษณะฟิล์ม MWCNTs ผสม PVDF บนพลาสติกนำไฟฟ้า

ฟิล์มคาร์บอน (MWCNTs) เคลือบบนพลาสติกนำไฟฟ้า หลังจากอบที่ อุณหภูมิ 80 °C เป็นเวลา 6 ชั่วโมง ฟิล์มนี้ลักษณะคล้ายฟิล์มคาร์บอนบนกระจุกนำไฟฟ้า ภาพถ่าย SEM ภาพที่ 4.22 พบว่า MWCNTs จับตัวกันเป็นก้อนๆ แต่ Modified-MWCNTs ที่ผ่านการ ปรับแต่งผิวมีการกระจายตัวอย่างสม่ำเสมอมากกว่า MWCNT ที่ไม่ปรับแต่งผิว เนื่องจากหมู่ พิงก์ชัน OH ช่วยกระจายตัว MWCNTs ใน PVDF และยังพบว่าฟิล์มคาร์บอนปิดผิว ITO/PEN ได้ ไม่ดีเท่าที่ควรเนื่องจากยังเห็นพื้นของฐานรองอยู่บางส่วน สังเกตพบการติดและกระจายตัวของฟิล์ม คาร์บอนบน ITO/PEN ไม่ดีเมื่อเทียบ FTO/Glass

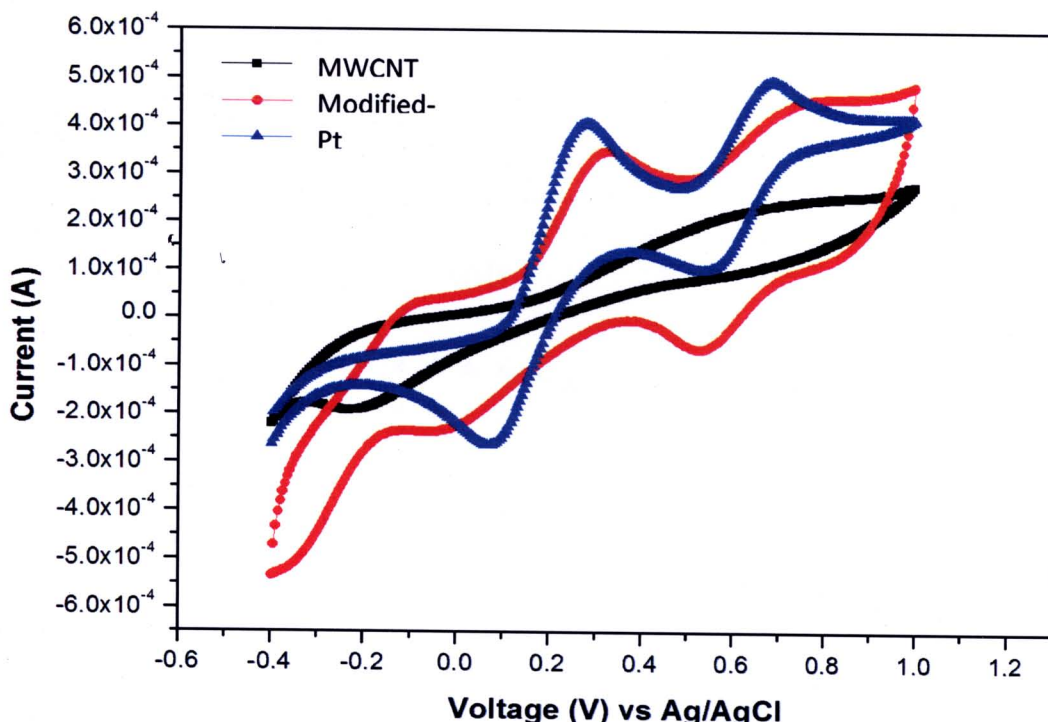


ภาพที่ 4.22 ภาพถ่าย SEM ของฟิล์มบน ITO/PEN (a) MWCNTs กำลังขยายต่ำ (b) MWCNTs กำลังขยายสูง (c) Modified-MWCNTs กำลังขยายต่ำ (d) Modified-MWCNTs กำลังขยายสูง

4.2.2.2 ผลการศึกษาฟิล์ม MWCNTs ผสม PVDF บนพลาสติกนำไฟฟ้าโดยเทคนิค Cyclic Voltammetry

ผลการวัด CV แสดงในภาพที่ 4.23 พบว่า CV curve ของฟิล์ม Modified-MWCNTs (เส้นสีแดง) มีอคซิเดชันพีก 2 พีกที่ 0.33 V และ 0.76V รีดักชันพีก 2 พีกที่ -0.02 V และ 0.54 V ในส่วน MWCNTs (เส้นสีดำ) มีรีดักชันพีกและอคซิเดชันพีกไม่ชัดเจนและมีพีกที่ต่ำกว่า Modified-MWCNTs มาก ลักษณะของการฟดังกล่าวแตกต่างจากฟิล์ม MWCNTs บนกระดาษนำไฟฟ้าอย่างมากเนื่องจากน้ำกระดาษนำไฟฟ้านั้นเกิดพีกที่ชัดเจน ความแตกต่างที่เกิดขึ้นนี้เกิดขึ้นจากการเกะดีดและการกระจายตัวของท่อนาโนคาร์บอนบนฐานรองที่แตกต่างกันระหว่างบนกระดาษนำไฟฟ้าและบนพลาสติกนำไฟฟ้า ท่อนาโนคาร์บอนจะเกะดีดและการกระจายตัวบนกระดาษ

ไฟฟ้าได้ดีกว่าพลาสติกนำไฟฟ้า ทั้งฟิล์ม Modified-MWCNTs และฟิล์ม MWCNTs มี CV curve ที่ต่ำกว่าฟิล์ม Pt และสังเกตเห็นอย่างชัดเจนว่าการเกิดปฏิกิริยาไฟฟ้าเคมีของฟิล์ม Modified-MWCNTs ดีกว่าฟิล์ม MWCNTs แต่น้อยกว่าฟิล์ม Pt และผลนี้สอดคล้องกับผลประสิทธิภาพของเซลล์แสงอาทิตย์ดังจะกล่าวในหัวข้อต่อไป

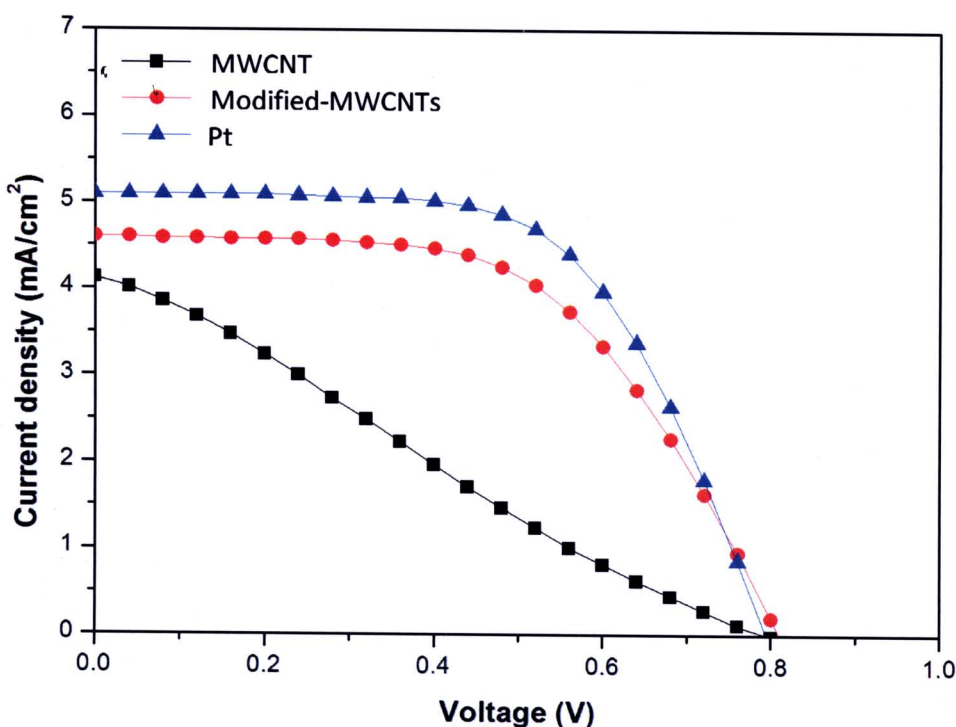


ภาพที่ 4.23 Cyclic Voltammograms ของฟิล์ม MWCNTs และ Modified-MWCNTs บน ITO/PEN ในสารละลาย acetronitrile 10 mM LiL, 1 mM I₂ และ 0.1 M LiClO₄ โดยใช้ Scan rate ที่ 20 mV/s

4.2.2.3 ผลการศึกษาประสิทธิภาพเซลล์แสงอาทิตย์ที่ใช้ฟิล์ม MWCNTs ผสม PVDF เป็นขั้วเคาน์เตอร์บนพลาสติกนำไฟฟ้า

หลังจากประกอบเซลล์แสงอาทิตย์ชนิดสีเหลืองไว้แล้วบนพลาสติกนำไฟฟ้า ซึ่งประกอบแบบเซลล์เปิด นำเซลล์ไปวัดประสิทธิภาพได้ผลดังตารางที่ 4.4 และภาพที่ 4.24 พบว่า ความหนาแน่นกระแสวงจรปิด (J_{sc}) ของ Modified-MWCNTs DSSC (4.60 mA/cm^2) มากกว่า MWCNTs DSSC (4.07 mA/cm^2) ซึ่งพบว่าการปรับแต่งผิวท่อนาโนคาร์บอนมีผลเพิ่มความหนาแน่นกระแสของ DSSC แต่มีผลในทางลบคือค่าความต่างศักย์วงจรเปิด (V_{oc}) จะเพิ่มขึ้นโดย

ก่อนปรับแต่งมี V_{oc} เท่ากับ 0.79 V หลังปรับแต่งเท่ากับ 0.81 ค่า Fill factor ของ Modified-MWCNTs DSSC เพิ่มขึ้นอย่างมากจาก 0.25 เป็น 0.57 ค่าประสิทธิภาพเซลล์แสงอาทิตย์ของ Modified-MWCNTs DSSC คือ 2.11% ซึ่งมากกว่า MWCNTs DSSCs (0.80%) แต่พบว่าเซลล์แสงอาทิตย์ทั้งสองนี้มีประสิทธิภาพและ Fill Factor ยังน้อยกว่า Pt DSSCs (2.47%, 0.61) ทั้งนี้เนื่องจาก Pt เป็นตัวเร่งปฏิกิริยาที่ดีกว่าท่อนาโนคาร์บอนซึ่งผลที่ได้สอดคล้องกับผลของ CV โดย Fill Factor เป็นค่าที่บ่งบอกถึงคุณสมบัติการเป็นขั้วเคาน์เตอร์ที่ดี ทั้งนี้ค่าประสิทธิภาพที่ได้มีแนวโน้มตามเซลล์แสงอาทิตย์บนกระจานนำไปฟื้น



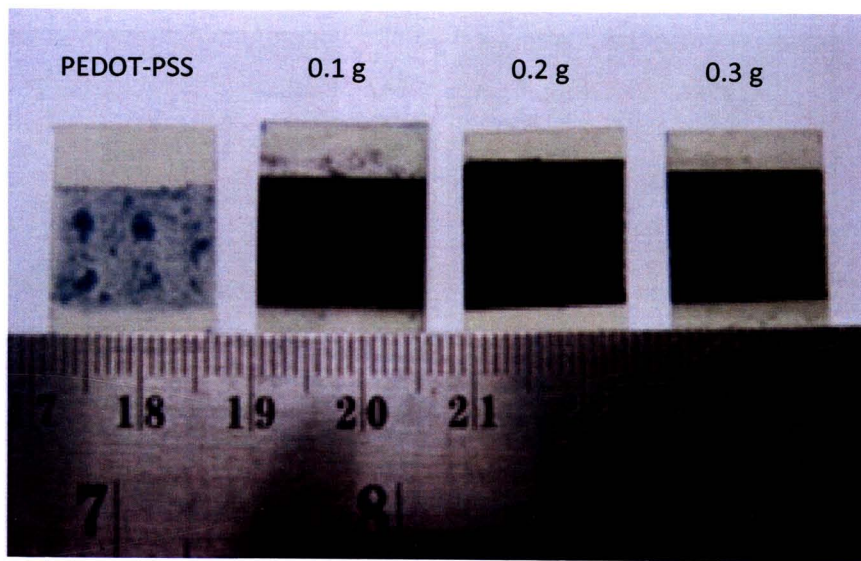
ภาพที่ 4.24 แสดงความสัมพันธ์ระหว่างความหนาแน่นกระแสกับความต่างศักย์ ของ MWCNTs DSSC, Modified-MWCNTs DSSC และ Pt DSSC บนพลาสติกนำไปฟื้น

ตารางที่ 4.4 สรุปค่า V_{oc} , J_{sc} , FF และประสิทธิภาพของเซลล์แสงอาทิตย์ (ท) MWCNTs DSSC, Modified-MWCNTs DSSC และ Pt DSSC บนพลาสติกนำไฟฟ้า

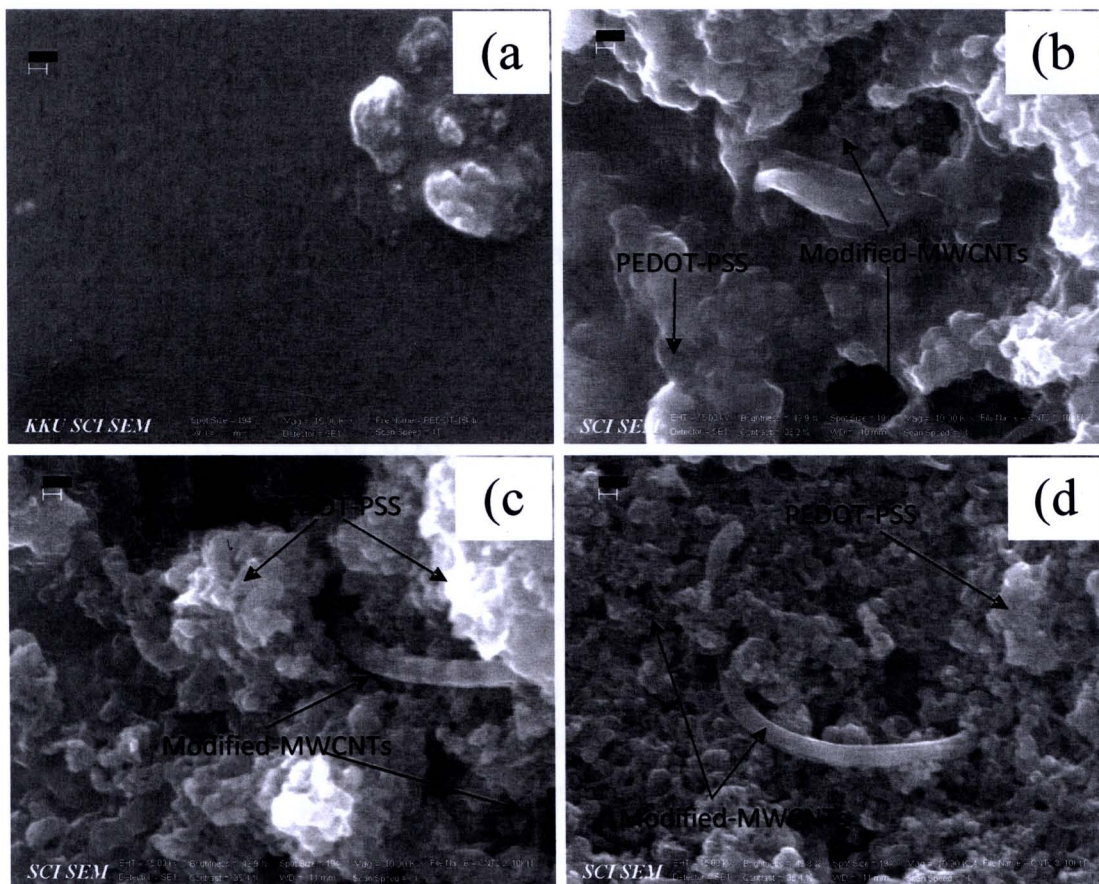
| Counter electrode | V_{oc} (V) | J_{sc} (mA/cm ²) | FF | η (%) |
|-------------------|--------------|--------------------------------|------|------------|
| MWCNTs | 0.79 | 4.07 | 0.25 | 0.80 |
| Modified-MWCNTs | 0.81 | 4.60 | 0.57 | 2.11 |
| Pt sputtered | 0.79 | 5.10 | 0.61 | 2.47 |

4.2.3 ลักษณะฟิล์ม Modified-MWCNTs ผสม PEDOT-PSS บนพลาสติกนำไฟฟ้า

ลักษณะของฟิล์ม Modified-MWCNTs ผสม PEDOT-PSS บนพลาสติกนำไฟฟ้า แสดงดังภาพที่ 4.25 พบว่าฟิล์ม PEDOT-PSS มีสีน้ำเงินใส เมื่อเติม Modified-MWCNTs ฟิล์มนี้สีดำ พิจารณาภาพถ่าย SEM (ภาพที่ 4.26) พบว่าฟิล์มเง่อน ไข่ที่ไม่มี Modified-MWCNTs หรือฟิล์ม PEDOT-PSS มีลักษณะเรียบ เมื่อเติม Modified-MWCNTs เข้าไปผสมใน PEDOT-PSS จะพบท่อนานोคาร์บอนและเม็ดโพลิเมอร์ปิดอยู่ที่ผิวห่อนานอคาร์บอน เมื่อเติม Modified-MWCNTs เพิ่มขึ้น จะสังเกตเห็นว่าโพลิเมอร์ที่ปิดผิวห่อนานอคาร์บอนน้อยลง และจากเหตุนี้ทำให้พื้นที่ผิวสัมผัสของฟิล์มในเง่อน ไข่ที่เติม Modified-MWCNTs ในปริมาณมากมีการเกิดปฏิกิริยาได้มาก เนื่องจากการเกะติดของ Modified-MWCNTs ผสม PEDOT-PSS บนพลาสติกนำไฟฟ้าไม่ดีเท่านักระยะน้าไฟฟ้า ดังนั้นบนพลาสติกนำไฟฟ้าจึงเคลือบ Paste ที่มีปริมาณ Modified-MWCNTs ได้เพียง 4 เง่อน ไข่คือ 0.0 g, 0.1 g, 0.2 g และ 0.3 g เท่านั้น ถ้าปริมาณคาร์บอนมากกว่านี้ฟิล์มเกิดการหลุดลอกจึงไม่ได้นำมาศึกษาในที่นี้



รูปที่ 4.25 ภาพถ่ายฟิล์ม Modified-MWCNT ผสม PEDOT-PSS บนพลาสติกนำไปไฟฟ้าที่อัตราส่วน Modified-MWCNTs 0 g (PEDOT-PSS), Modified-MWCNTs 0.1 g, Modified-MWCNTs 0.2 g และ Modified-MWCNTs 0.3 g

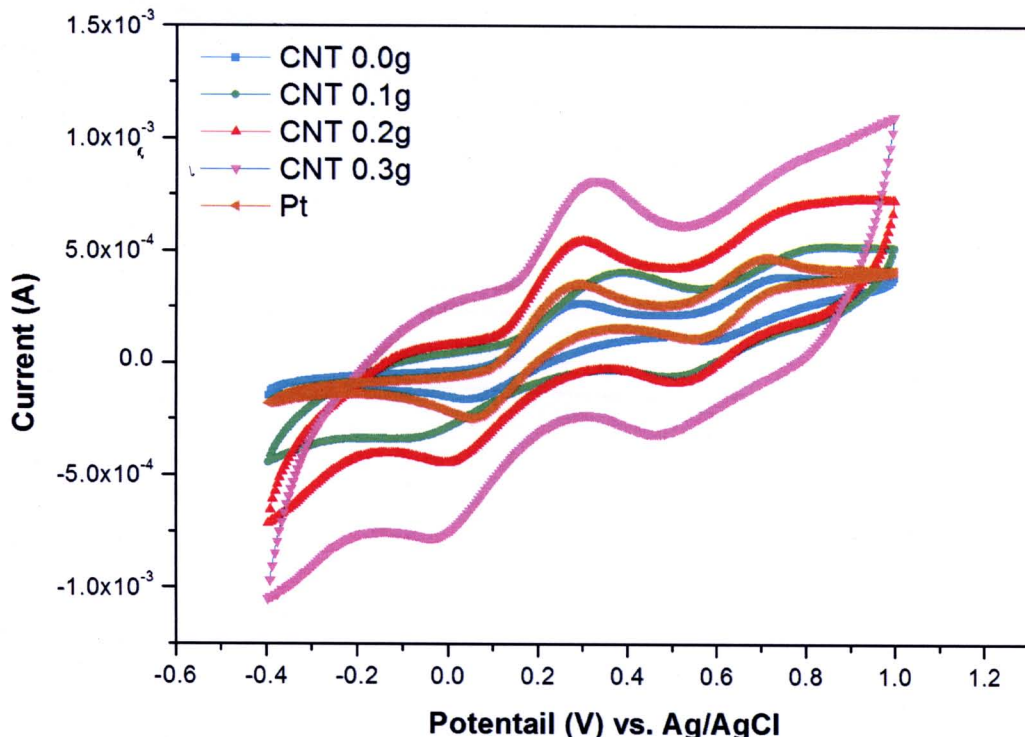


ภาพที่ 4.26 ภาพถ่าย SEM ของฟิล์ม Modified-MWCNTs ผสม PEDOT-PSS บนพลาสติกนำไฟฟ้าในอัตราส่วน (a) Modified-MWCNTs 0 g (b) Modified-MWCNTs 0.1 g (c) Modified-MWCNTs 0.2 g และ (d) Modified-MWCNTs 0.3g

4.2.3.1 ผลการศึกษาฟิล์ม Modified-MWCNTs ผสม PEDOT-PSS บนพลาสติกนำไฟฟ้าโดยเทคนิค CV

เมื่อเปลี่ยนแปลงปริมาณ Modified-MWCNTs ที่ผสมกับ PEDOT-PSS ส่งผลต่อการเกิดปฏิกิริยา กับสารอิเล็กโทรไลต์ ถ้าเพิ่มปริมาณ Modified-MWCNTs การเกิดปฏิกิริยาจะเกิดมากขึ้นดังแสดงในภาพที่ 4.27 จากภาพพบว่าความสูงของพีคเพิ่มขึ้นตามปริมาณ Modified-MWCNTs โดยที่ปริมาณ 0.3 g นั้นให้พีคสูงที่สุดและสังเกตว่าพีค มีการขับไปเดือน้อย ทั้งนี้การสูงขึ้นของพีคที่เกิดจากความกว้างของเส้นกราฟนอกจากจะเป็นผลมาจากการเกิดปฏิกิริยามากขึ้นแล้วยังมีผลจากการเก็บประจุของฟิล์ม ถ้าฟิล์มมีการเก็บประจุมากกราฟจะกว้างออกมาก

เช่นกัน ดังนั้นในภาพที่ 4.27 จึงยังไม่สามารถชี้ปัจจัยใดว่าปริมาณคาร์บอน 0.2 g หรือ 0.3 g มีการเกิดปฏิกิริยาติดกันต้องมีการประกอบเป็นเซลล์แสงอาทิตย์และเปรียบเทียบค่าประสิทธิภาพและพบว่าพีค CV บนพลาสติกนำไฟฟ้าต่ำกว่าบนกระженนำไฟฟ้าภาพที่ 4.14 เนื่องจากความต้านทานของพลาสติกนำไฟฟ้ามากกว่ากระженนำไฟฟ้า การกระจายตัวไม่ดีและการติดของฟิล์มท่อนาโนคาร์บอนบนพลาสติกนำไฟฟ้าได้น้อยกว่าบนกระженนำไฟฟ้า

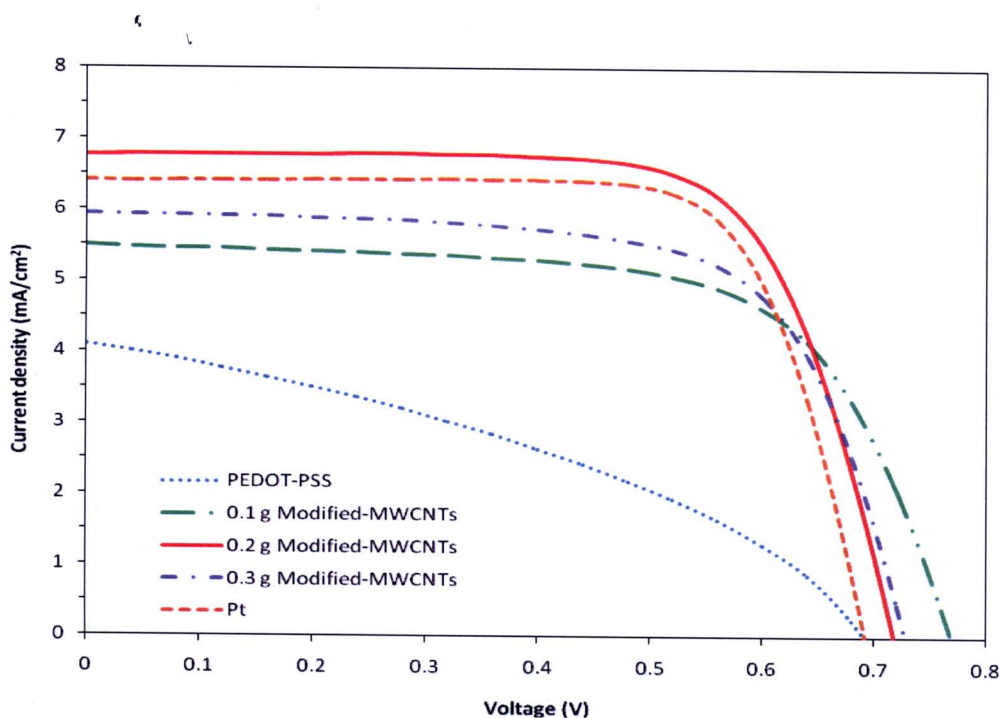


ภาพที่ 4.27 Cyclic Voltammograms ของฟิล์ม Modified-MWCNTs ที่ปริมาณ 0 g, 0.1 g, 0.2 g, และ 0.3 g ผสม PEDOT-PSS และฟิล์ม Pt บนพลาสติกนำไฟฟ้า ในสารละลาย Acetonitrile 10 mM LiI, 1 mM I₂ และ 0.1 M LiClO₄ โดยใช้ Scan rate ที่ 20 mV/s

4.2.3.2 ผลการศึกษาประสิทธิภาพเซลล์แสงอาทิตย์ที่ใช้ฟิล์ม Modified-MWCNTs ผสม PEDOT-PSS เป็นขั้วเคนเนอร์บนพลาสติกไฟฟ้า

การเพิ่มปริมาณ Modified-MWCNTs ที่ผสมกับ PEDOT-PSS ส่งผลต่อกระแสโดยตรงจากตารางที่ 4.5 เห็นได้ว่าเมื่อปริมาณ Modified-MWCNTs เพิ่มความหนาแน่นกระแสเพิ่มขึ้นตาม แต่ที่ 0.3 g ความหนาแน่นกระแสลดลง โดย J_{sc} เพิ่มขึ้นจาก 4.10 mA/cm² ที่ 0.0 g เป็น 6.77 mA/cm² ที่ 0.2 g และลดลงเป็น 5.94 mA/cm² ที่ 0.3 g เนื่องจากเมื่อเพิ่มปริมาณ

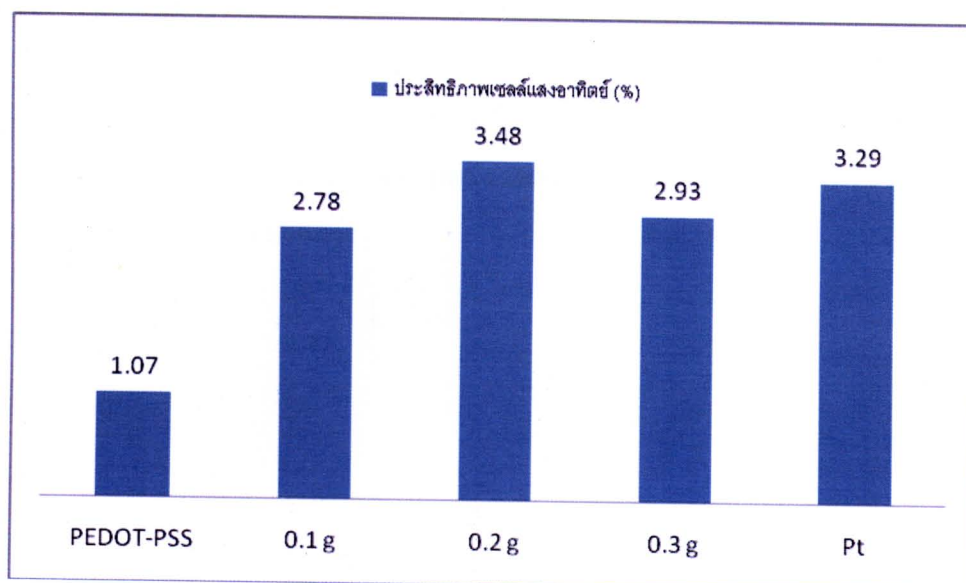
Modified-MWCNTs ทำให้การกระจายตัวของฟิล์มดีขึ้นความหนาเพิ่มขึ้นทำให้พื้นที่ผิวสัมผัสกับอิเล็กโตร ไอล์ตมากตามไปด้วย ดังนั้นจึงมีโอกาสที่เกิดปฏิกิริยา กับ I_3^- ได้มาก สอดคล้องกับผลของ CV และกระแสที่เพิ่มมากขึ้น เป็นผลให้ประสิทธิภาพของเซลล์แสงอาทิตย์มากตามแนวโน้มของกระแส ประสิทธิภาพสูงสุดอยู่ที่ ~3.48 % ที่เงื่อนไข 0.2 g ส่วนในเงื่อนไข 0.3 g (~2.93 %) ประสิทธิภาพที่ลดลงนั้นมีสาเหตุเกิดการหลุดลอกของฟิล์มเคนน์เตอร์เน่องจากมีโพลิเมอร์นายเดอร์น้อยเกินไป ผลสรุปประสิทธิภาพแสดงในภาพที่ 4.28 ประสิทธิภาพของเซลล์แสงอาทิตย์บนพลาสติกเมื่อเทียบกับบนกระженนำไฟฟ้าพบว่าอยกว่ามาก ซึ่งเกิดจากความต้านทานของพลาสติกนำไฟฟ้าที่มีค่ามากกว่ากระженนำไฟฟ้านั่นเอง



ภาพที่ 4.28 แสดงความสัมพันธ์ระหว่างความหนาแน่นกระแสกับความต่างศักย์ ของ Modified-MWCNTs/PEDOT-PSS DSSC โดยปริมาณ Modified-MWCNTs เป็น 0.0 g, 0.1 g, 0.2 g, 0.3 g และ Pt บนพลาสติกนำไฟฟ้า

ตารางที่ 4.5 สรุปค่า V_{oc} , J_{sc} , FF และประสิทธิภาพของเซลล์แสงอาทิตย์ (%) ของ Modified-MWCNTs/PEDOT-PSS DSSC โดยปริมาณ Modified-MWCNTs เป็น 0.0 g, 0.1 g, 0.2 g, 0.3 g และ Pt บนพลาสติกนำไปฟื้น

| Substrate | ปริมาณ MWCNTs | V_{oc} (V) | J_{sc} (mA/cm^2) | FF | η (%) |
|-------------|---------------|--------------|-------------------------------|------|-------|
| ITO-plastic | 0 | 0.69 | 4.10 | 0.38 | 1.07 |
| | 0.1 | 0.76 | 5.49 | 0.66 | 2.78 |
| | 0.2 | 0.77 | 6.77 | 0.72 | 3.48 |
| | 0.3 | 0.72 | 5.94 | 0.68 | 2.93 |
| | Pt | 0.69 | 6.40 | 0.75 | 3.29 |



ภาพที่ 4.29 แสดงความสัมพันธ์ระหว่างประสิทธิภาพกับปริมาณ Modified-MWCNTs บนพลาสติกนำไปฟื้น